

Optoelectrică

Curs 6
2017/2018

Disciplina 2017/2018

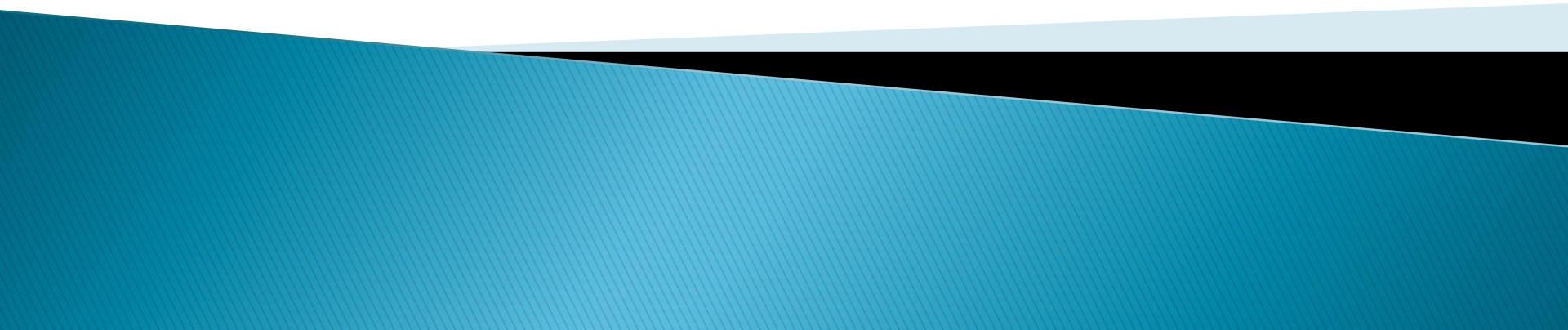
- ▶ 2C/1L Optoelectronicaă **OPTO**
- ▶ **Minim 7 prezente curs + laborator**
- ▶ Curs – **conf. Radu Damian**
 - an IV μE
 - Vineri 8–11, P5
 - E – 70% din nota
 - **20% test la curs**, saptamana 4–5?
 - probleme + (? 1 subiect teorie) + (2p prez. curs)
 - **toate materialele permise**
- ▶ Laborator – **sl. Daniel Matasaru**
 - an IV μE, an IV Tc
 - Joi 14-16 par/impar
 - L – 15% din nota
 - C – 15% din nota

Orar 2017/2018

► Curs

- Vineri 8-11, P5
- **2C ⇒ 3C**
 - $14 \cdot 2 / 3 \approx 9.33$
 - 9÷10 C

Recapitulare



Reprezentare logaritmică!!!

$$\text{dB} = 10 \cdot \log_{10} (P_2 / P_1)$$

$$\text{dBm} = 10 \cdot \log_{10} (P / 1 \text{ mW})$$

$$0 \text{ dB} = 1$$

$$+ 0.1 \text{ dB} = 1.023 (+2.3\%)$$

$$+ 3 \text{ dB} = 2$$

$$+ 5 \text{ dB} = 3$$

$$+ 10 \text{ dB} = 10$$

$$-3 \text{ dB} = 0.5$$

$$-10 \text{ dB} = 0.1$$

$$-20 \text{ dB} = 0.01$$

$$-30 \text{ dB} = 0.001$$

$$0 \text{ dBm} = 1 \text{ mW}$$

$$3 \text{ dBm} = 2 \text{ mW}$$

$$5 \text{ dBm} = 3 \text{ mW}$$

$$10 \text{ dBm} = 10 \text{ mW}$$

$$20 \text{ dBm} = 100 \text{ mW}$$

$$-3 \text{ dBm} = 0.5 \text{ mW}$$

$$-10 \text{ dBm} = 100 \mu\text{W}$$

$$-30 \text{ dBm} = 1 \mu\text{W}$$

$$-60 \text{ dBm} = 1 \text{ nW}$$

$$[\text{dBm}] + [\text{dB}] = [\text{dBm}]$$

$$[\text{dBm}/\text{Hz}] + [\text{dB}] = [\text{dBm}/\text{Hz}]$$

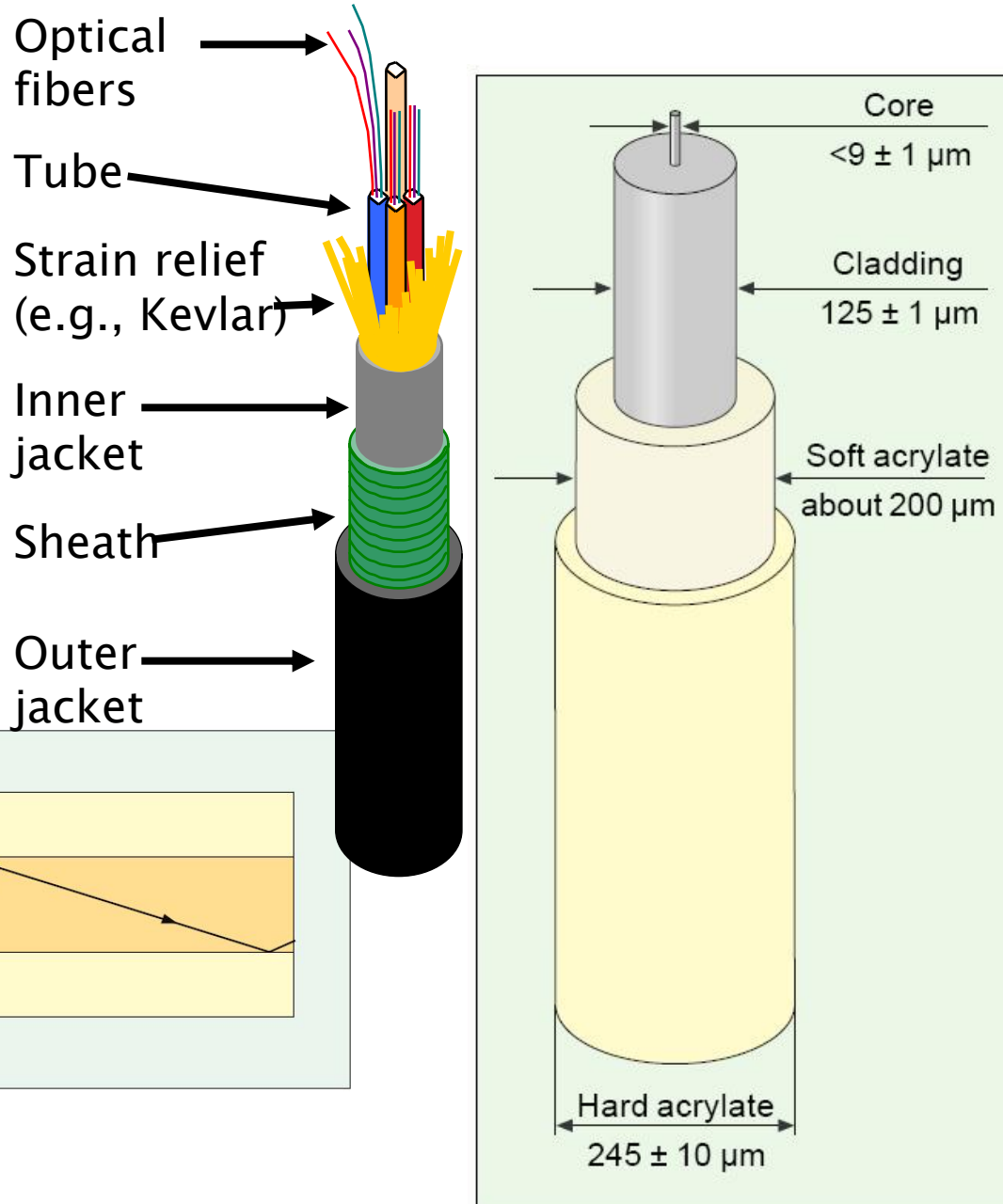
$$[x] + [\text{dB}] = [x]$$

Fibra optică

Capitolul 4

Fibra optica

- ▶ un ghid de unda dielectric
 - miez
 - teaca

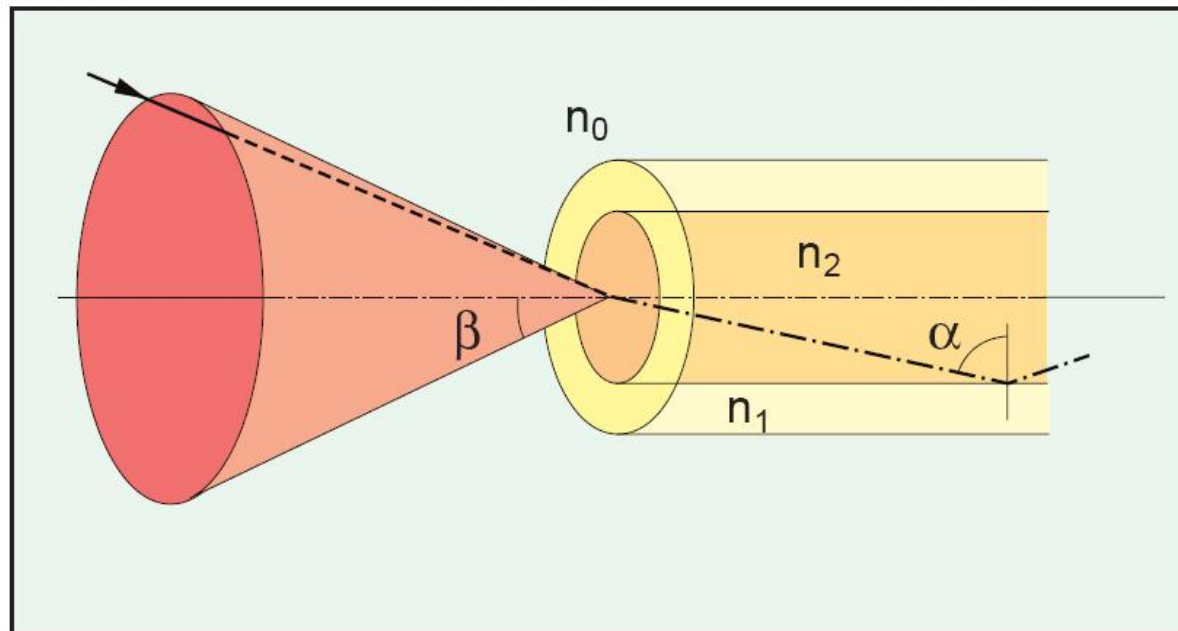


Unghi de acceptanta, apertura numerica

- ▶ Unghi de acceptanta

$$n_0 \cdot \sin \theta_{ACC} = n_2 \cdot \sin \phi_c$$

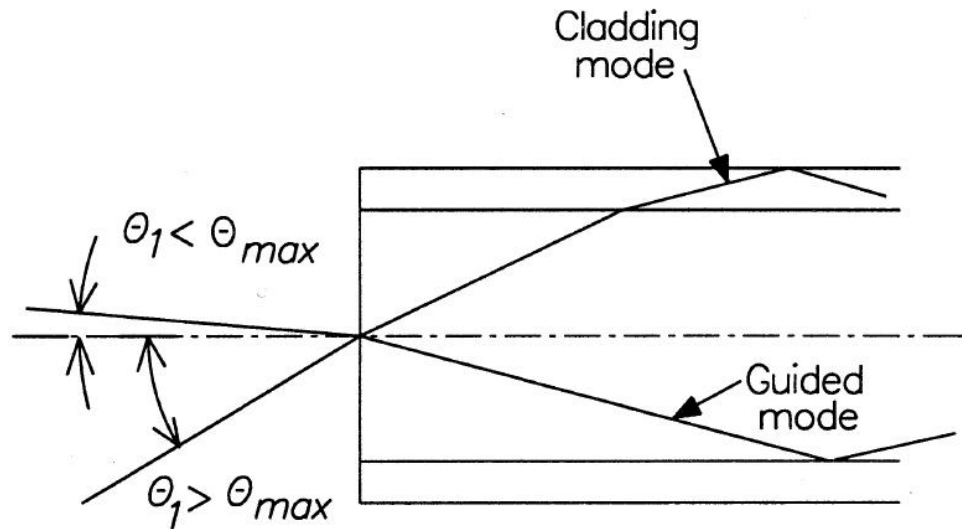
- ▶ Apertura numerica



$$NA = n_0 \cdot \sin \theta_{ACC}$$

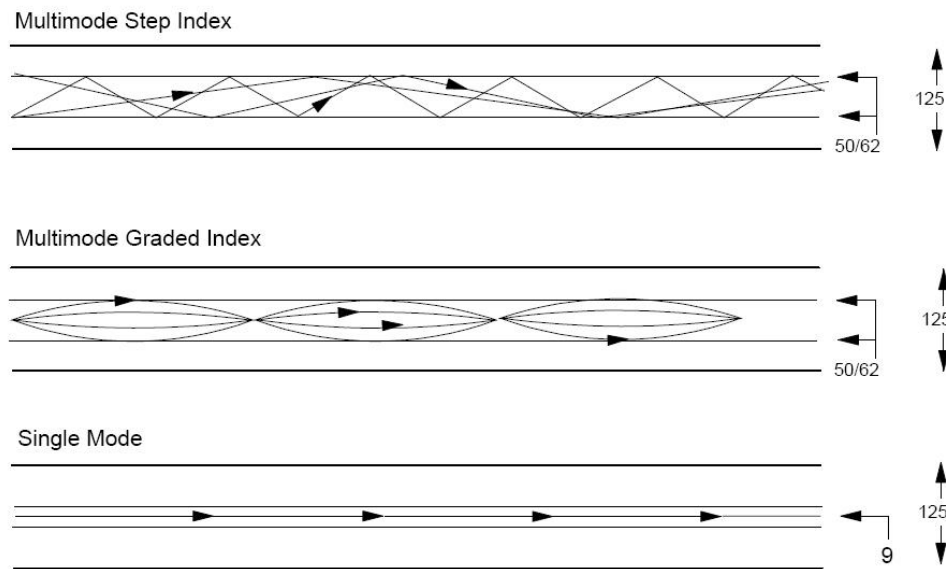
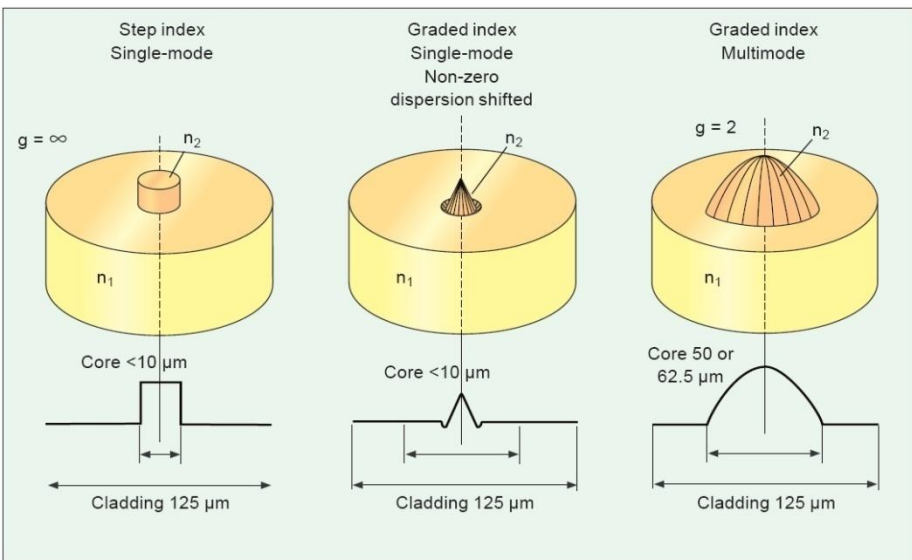
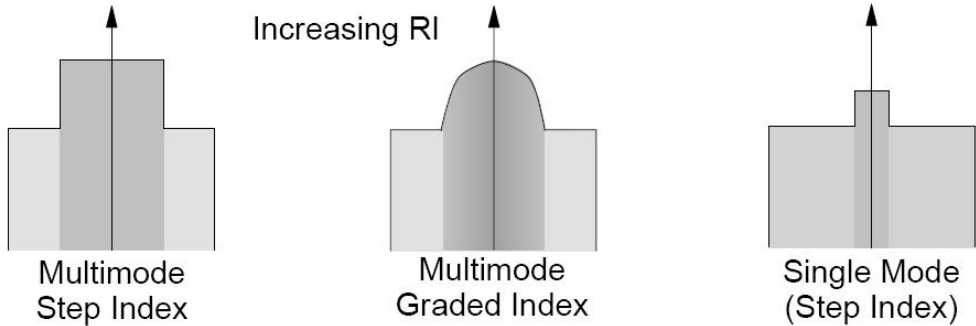
$$NA = n_2 \sqrt{\frac{n_2^2 - n_1^2}{n_2^2}} = \sqrt{n_2^2 - n_1^2}$$

n_2 - miez
 n_1 - teaca
 $n_2 > n_1 !!$

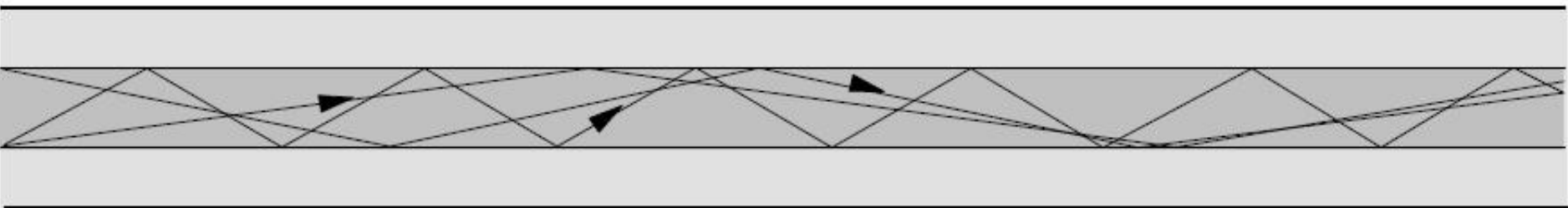


Tipuri de fibra

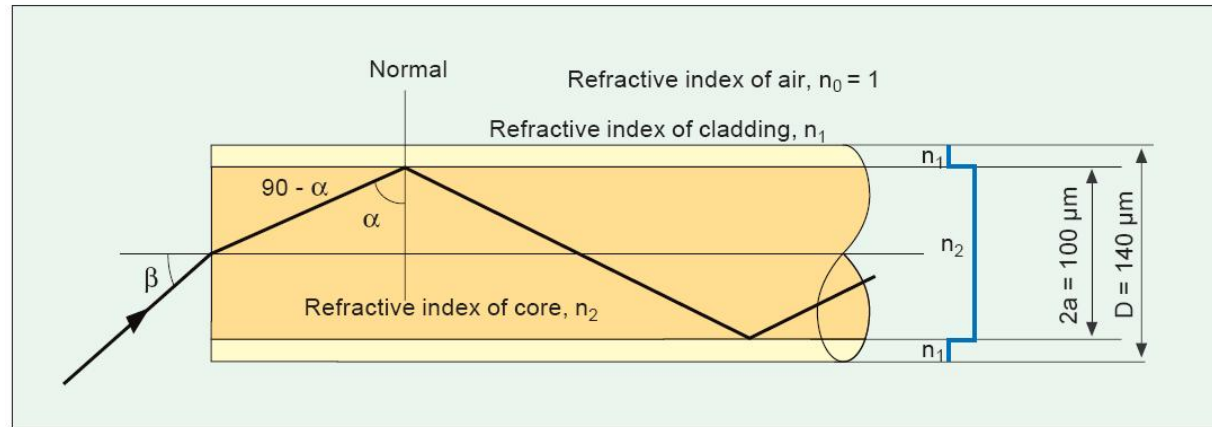
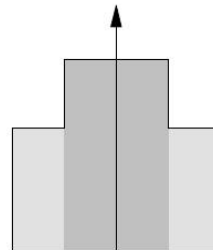
- ▶ Monomod
- ▶ Multimod
 - cu salt de indice
 - cu indice gradat



Fibre multimod cu salt de indice



- ▶ 50/125 sau
62.5/125
(μm)
- ▶ 15–50 MHz · km

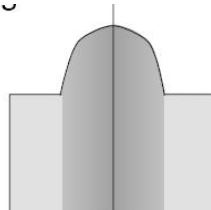
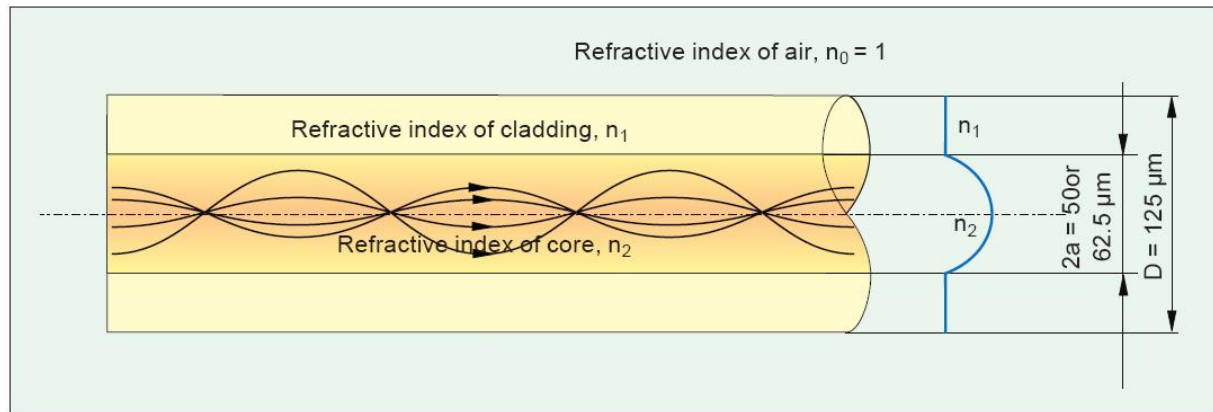


	glass	plastic
core diameter 2a	100 μm	980 μm
cladding diameter D	140 μm	1000 μm
core refractive index n ₂	1.48	
cladding refractive index n ₁	1.45	

Fibre multimod cu indice gradat

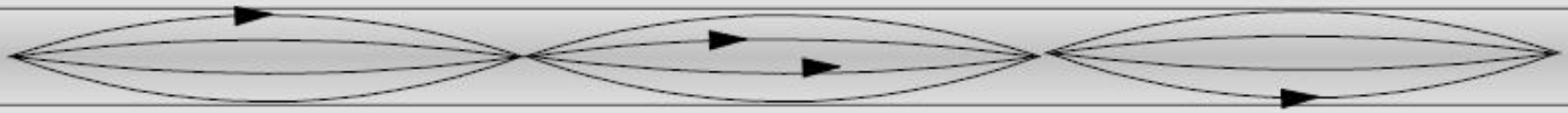


- ▶ 50/125 sau
62.5/125
(μm)
- ▶ 700–1200
MHz · km



Core diameter $2a$	50 or 62.5 μm
Cladding diameter D	125 μm
Maximum refractive index, core	1.46
Relative differential refractive index	0.010

Fibre multimod cu indice gradat



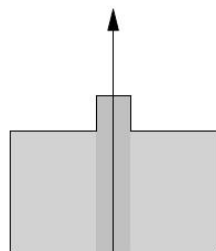
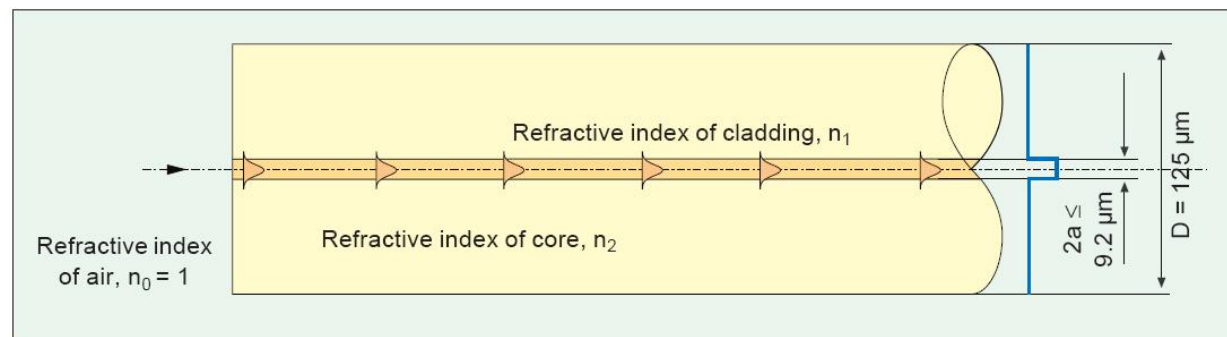
$$n(r) = n_2 \left[1 - \Delta \left(\frac{r}{a} \right)^g \right]$$

$$\Delta = \frac{NA^2}{2n_2^2} = \frac{n_2^2 - n_1^2}{2n_2^2} \approx \frac{n_2 - n_1}{n_2} \approx \frac{\Delta n}{n} \quad \text{for } \Delta \ll 1$$

- ▶ $g = 1$ – indice gradat triunghiular
- ▶ $g = 2$ – indice gradat parabolic
- ▶ $g = \infty$ – salt de indice

Fibre monomod

- ▶ 6-8/125 (μm)
- ▶ MHz · km
nerelevant
- ▶ MFD – Mode Field Diameter



Cladding diameter D	125 μm
Core refractive index n_2	1.4485
Cladding refractive index n_1	1.4440
Refractive index differential	0.003 = 0.3%

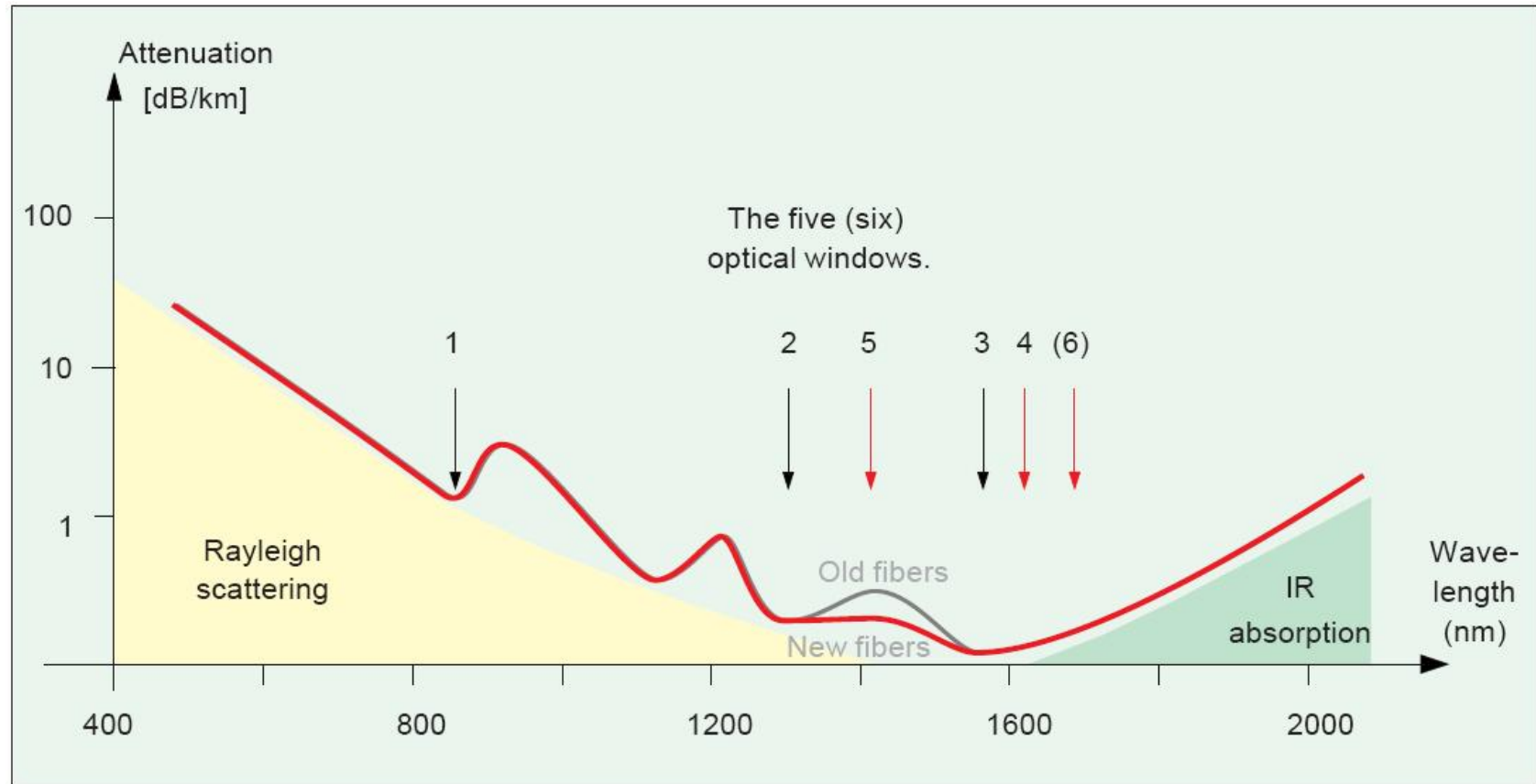
Fenomene de interes

- ▶ Cat de departe pot transmite semnalul luminos pe fibra
 - **atenuare**
- ▶ Cat de rapid pot transmite informația
 - dispersie

Atenuare

- ▶ Macrocurburi
 - utilizator, **localizat**, dB
- ▶ Discontinuitate in fibra
 - utilizator, **localizat**, dB
- ▶ Microcurburi
 - **distribuit**, tehnologie, dB/km
- ▶ Imprastiere
 - **distribuit**, tehnologie, dB/km
- ▶ Absorbtie
 - **distribuit**, material, dB/km

Absorbtie



distribuit, material, dB/km

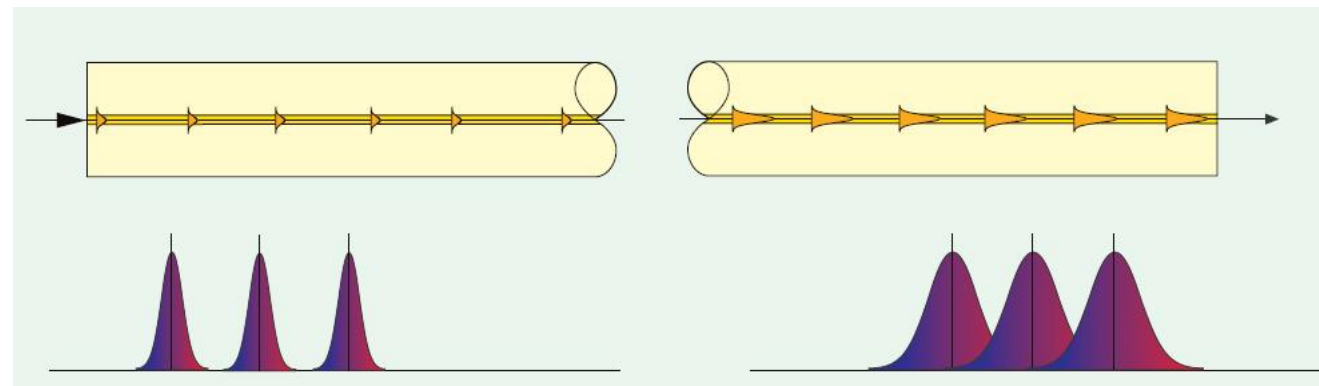
$$A[\text{dB}] = A_i[\text{dB / km}] \cdot L[\text{km}]$$

Fenomene de interes

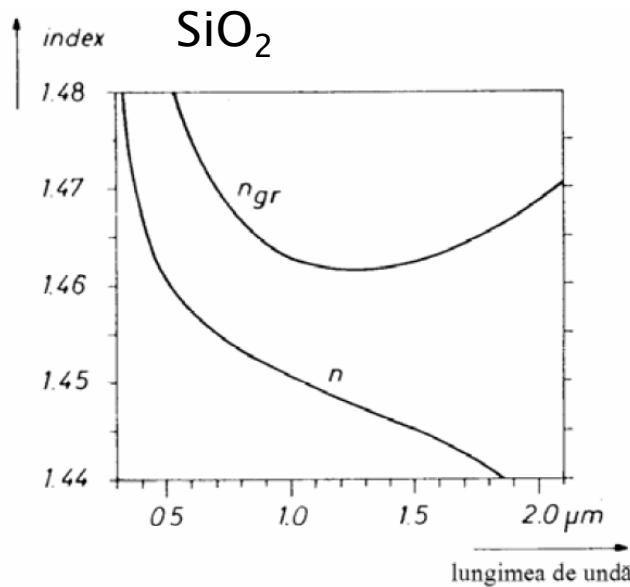
- ▶ Cat de departe pot transmite semnalul luminos pe fibra
 - atenuare
- ▶ Cat de rapid pot transmite informația
 - **dispersie**

Dispersia

- ▶ Propagarea cu viteze diferite a radiatiilor cu lungimi de unda diferite
 - intermodala (modala – depinde de prezența modurilor)
 - intramodala (cromatică – depinde de lungimea de undă)
 - de material
 - de ghid

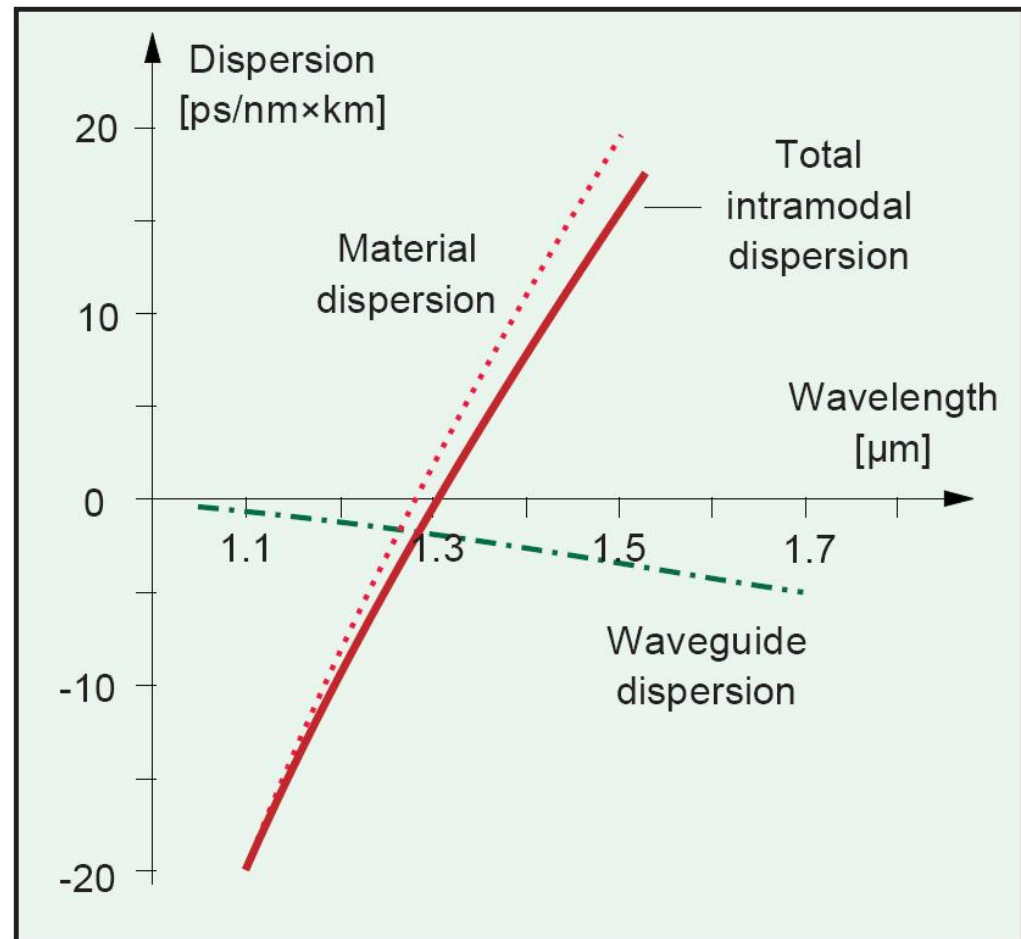


Dispersia de material



$$n_{gr} = n - \lambda \frac{dn}{d\lambda}$$

$$\Delta\tau_{mat} = \frac{L \cdot \lambda \cdot \Delta\lambda}{c} \cdot \frac{d^2n}{d\lambda^2}$$



Dispersia

- ▶ Dispersia modala
 - ▶ salt de indice

$$\Delta\tau_{\text{mod}} \cong \frac{L \cdot n_2 \cdot \Delta}{2\sqrt{3} \cdot c} \approx \frac{L \cdot NA^2}{4\sqrt{3} \cdot c \cdot n_2}$$

- ▶ indice gradat

$$\Delta\tau_{\text{mod}} \cong \frac{L \cdot n_2 \cdot \Delta^2}{4\sqrt{3} \cdot c} \cong \frac{L \cdot NA^4}{16\sqrt{3} \cdot c \cdot n_2^3}$$

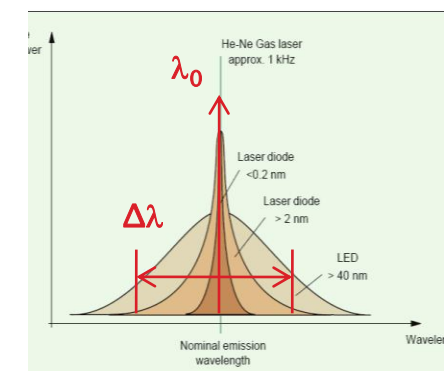
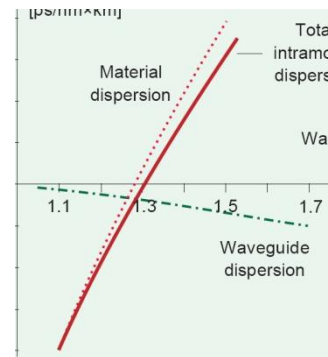
$$\Delta = 0.01 \div 0.02 \ll 1$$

$$NA = 0.1 \div 0.2 < 1$$

- ▶ Dispersia cromatica

$$\Delta\tau_{cr} = D(\lambda) \cdot \Delta\lambda \cdot L$$

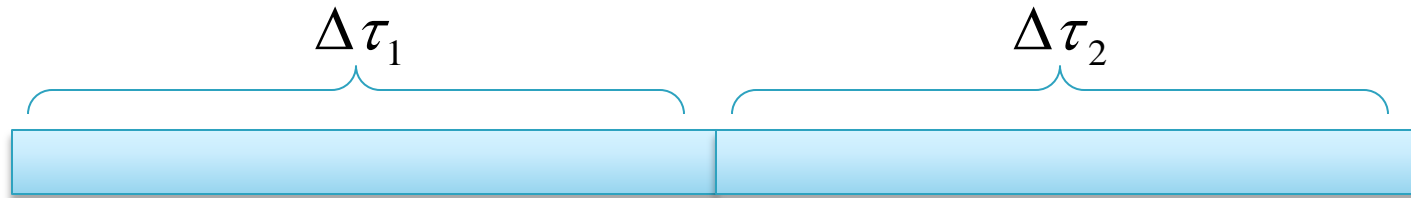
$$D(\lambda) = \frac{S_0}{4} \cdot \left(\lambda - \frac{\lambda_0^4}{\lambda^3} \right)$$



$$\Delta\tau_{tot} = \sqrt{\Delta\tau_{cr}^2 + \Delta\tau_{mod}^2}$$

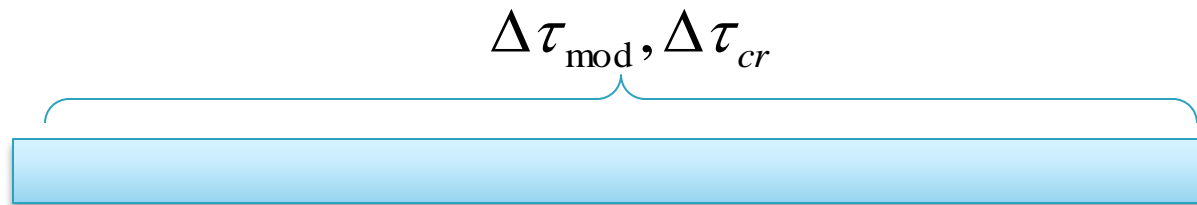
Sumarea efectelor

- ▶ efecte **successive** se adună liniar



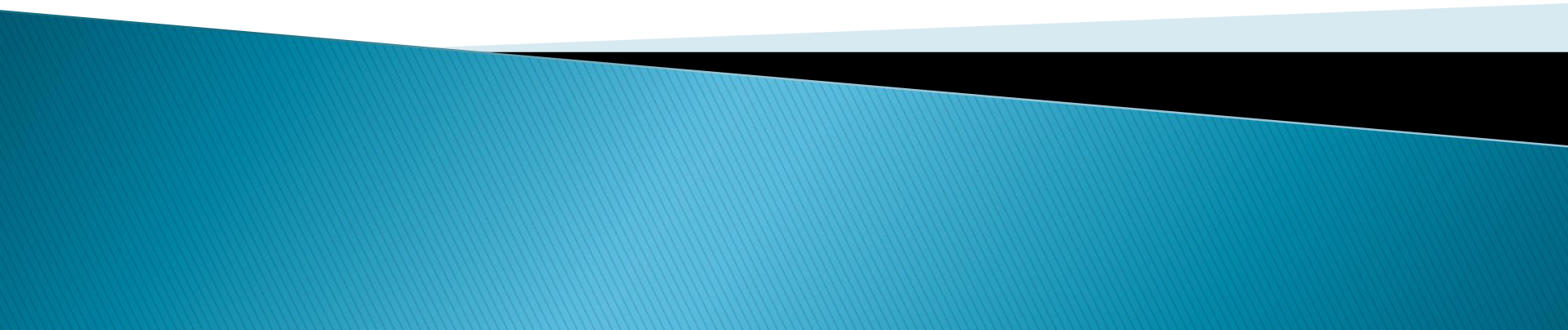
$$\Delta\tau_{tot} = \Delta\tau_1 + \Delta\tau_2$$

- ▶ efecte **simultane** se adună pătratic



$$\Delta\tau_{tot} = \sqrt{\Delta\tau_{cr}^2 + \Delta\tau_{mod}^2}$$

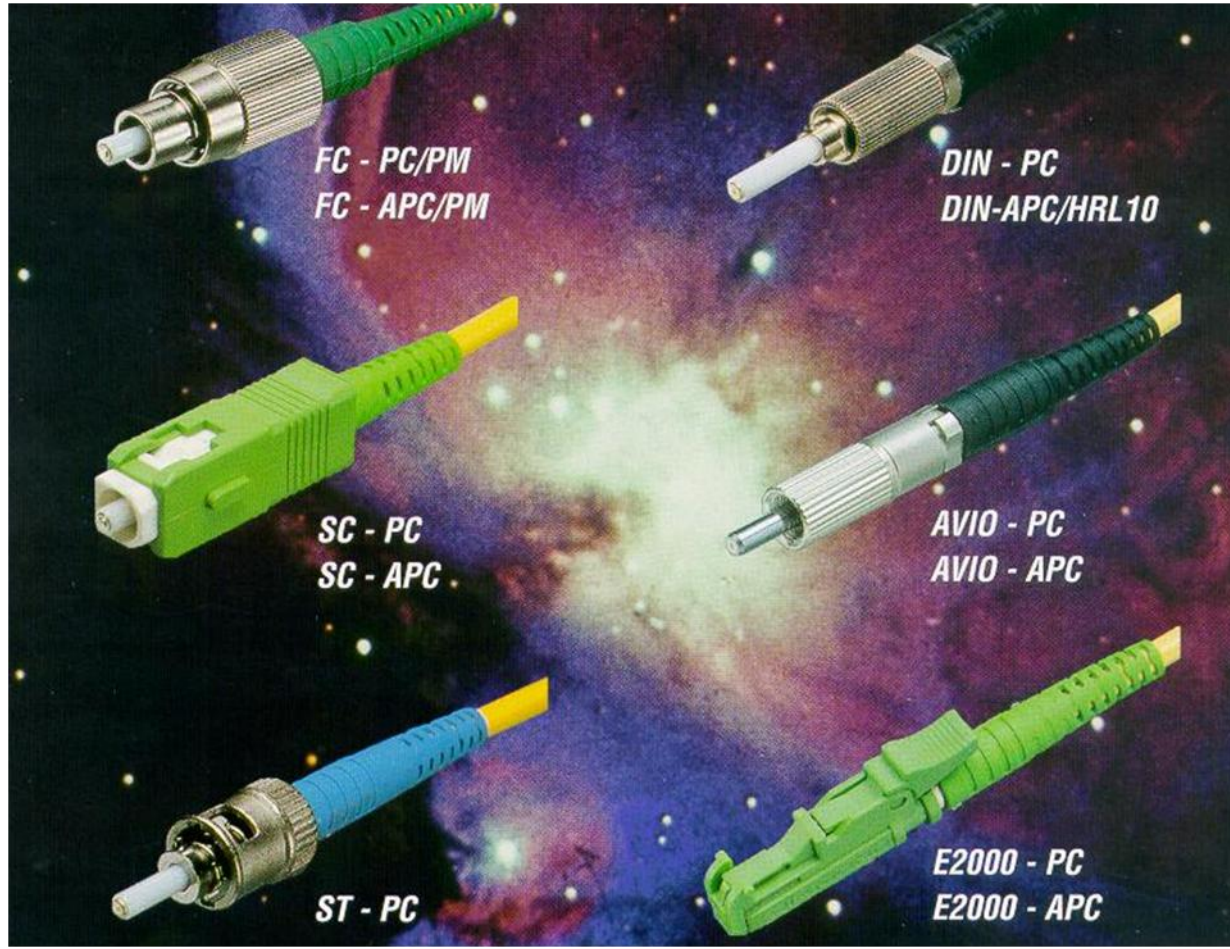
Continuare



Fibra optică – Tehnologie

Capitolul 5

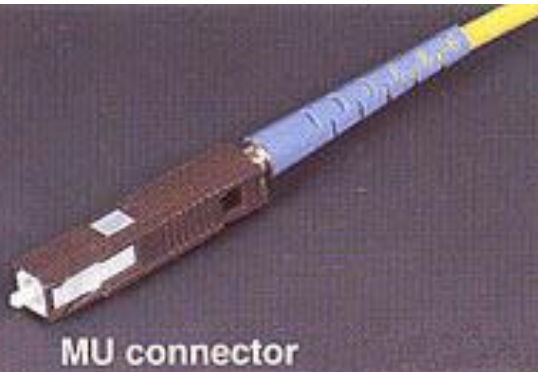
Conecatori



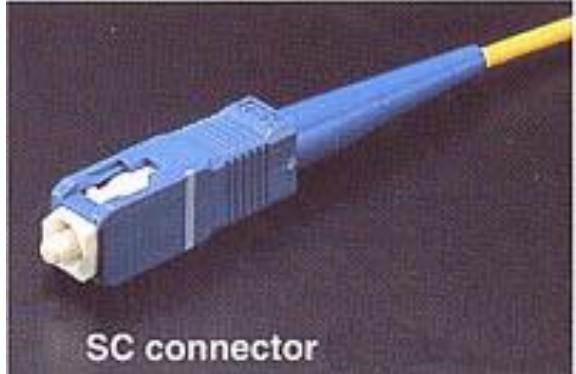
Conectori



FC connector



MU connector



SC connector



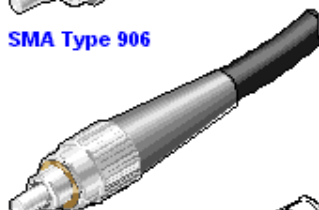
ST connector



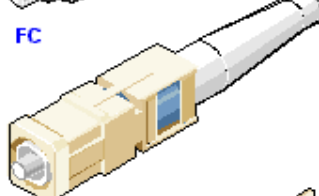
ST



SMA Type 906



FC



SC



MIC



Fiber Jack



MT-RJ

All fiber-optic connectors use ferrules to hold the ends of the fiber and keep them properly aligned.

The ST connector uses a half-twist bayonet type of lock, while SMA and FC use threaded connections.

The SC uses a push-pull connector similar to common audio and video plugs and sockets.

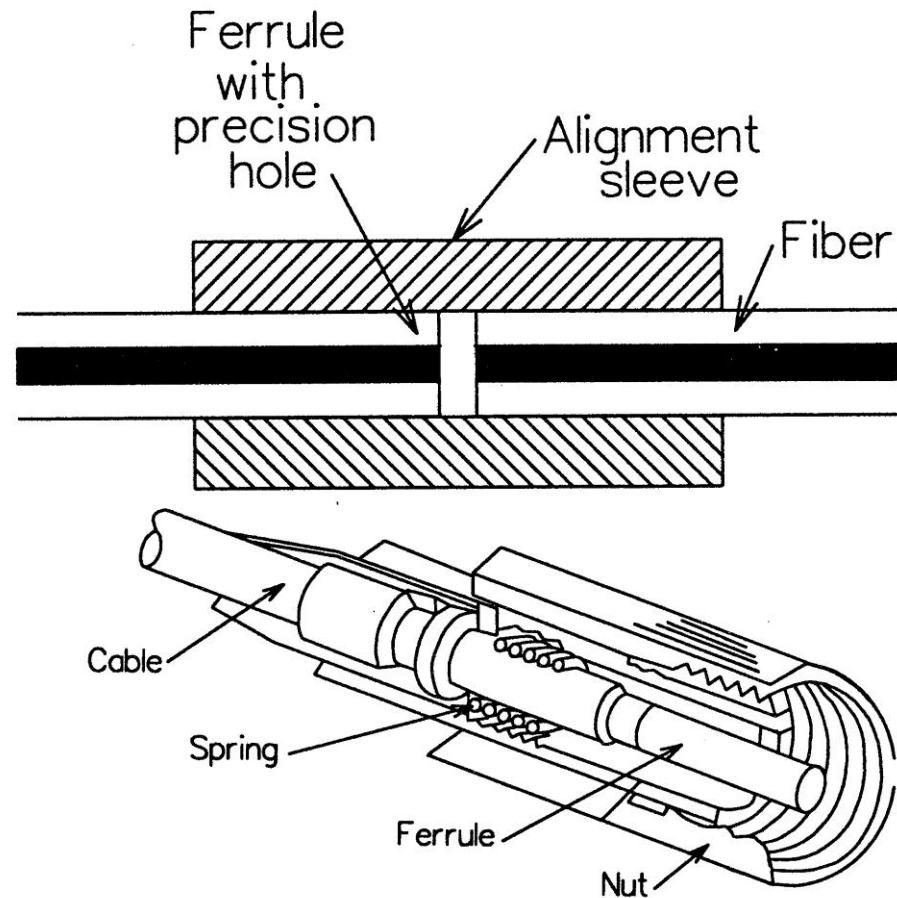
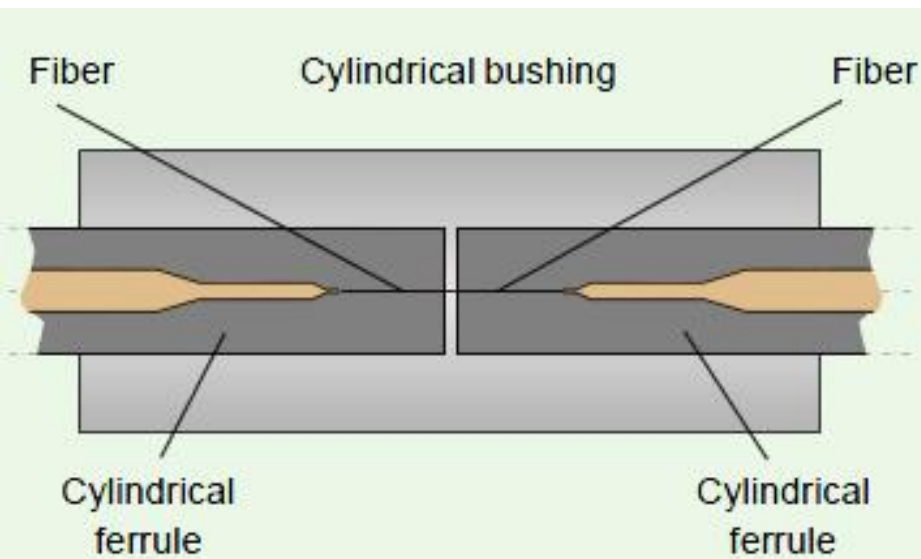
The MIC is the standard FDDI connector.

The Fiber Jack connector attaches two fibers in a snap lock connector similar in size and ease of use as an RJ-45 connector.

MT-RJ is a popular connector for two fibers in a very small form factor.

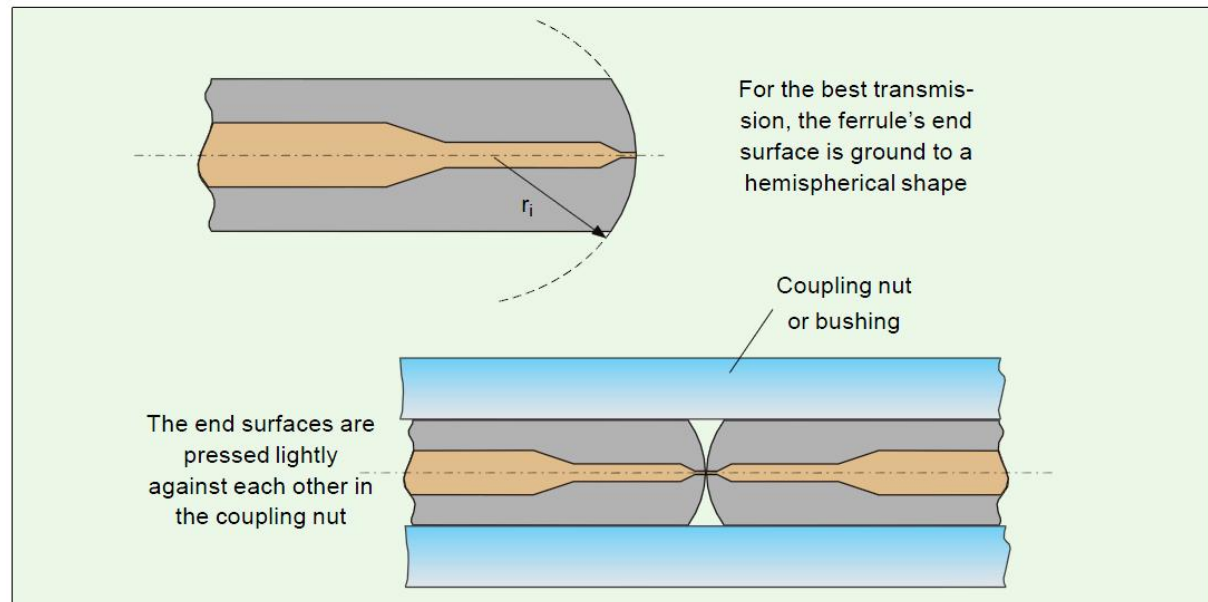
Conecatori

► Verificati <http://rf-opto.eti.tuiasi.ro>

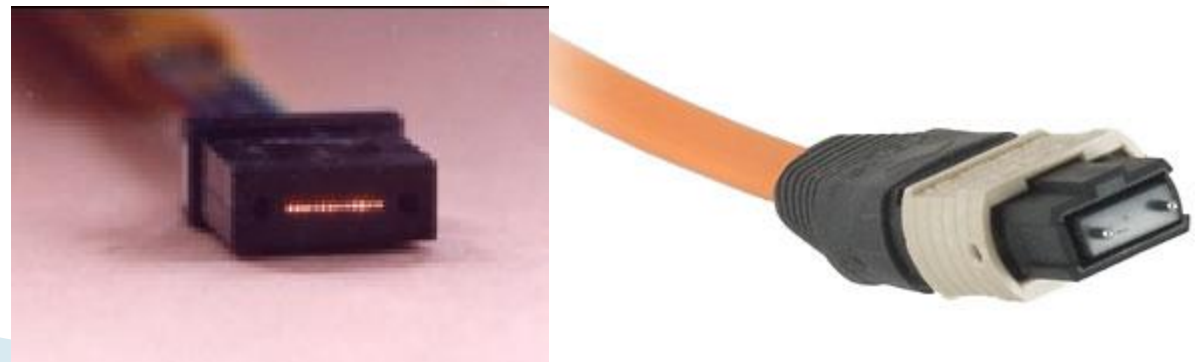


Coneitori

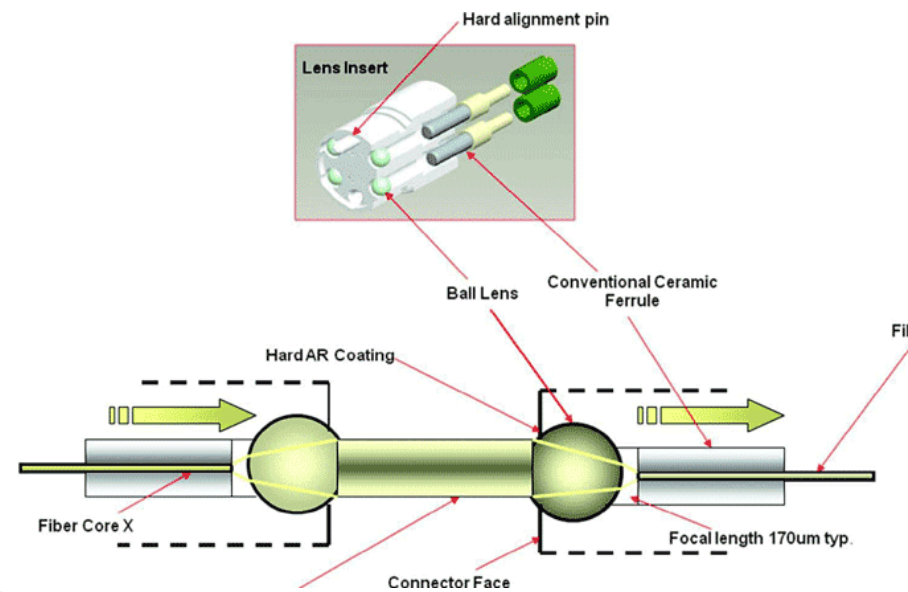
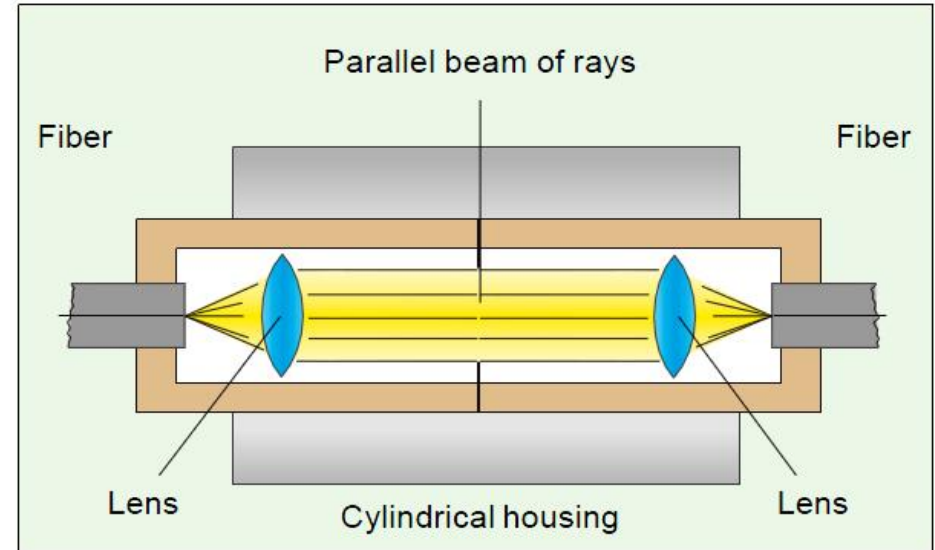
- ▶ Ferula semisferica
 - 20mm
 - 60mm



- ▶ Coneitori multifibra

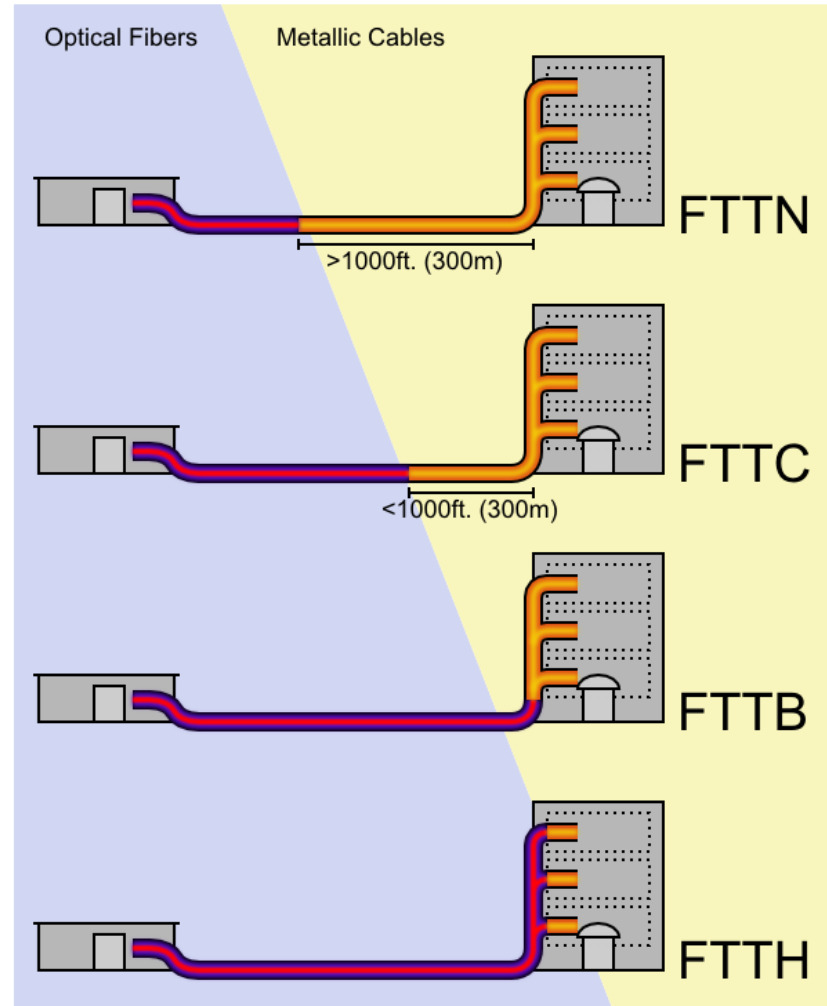


Expanded beam connector



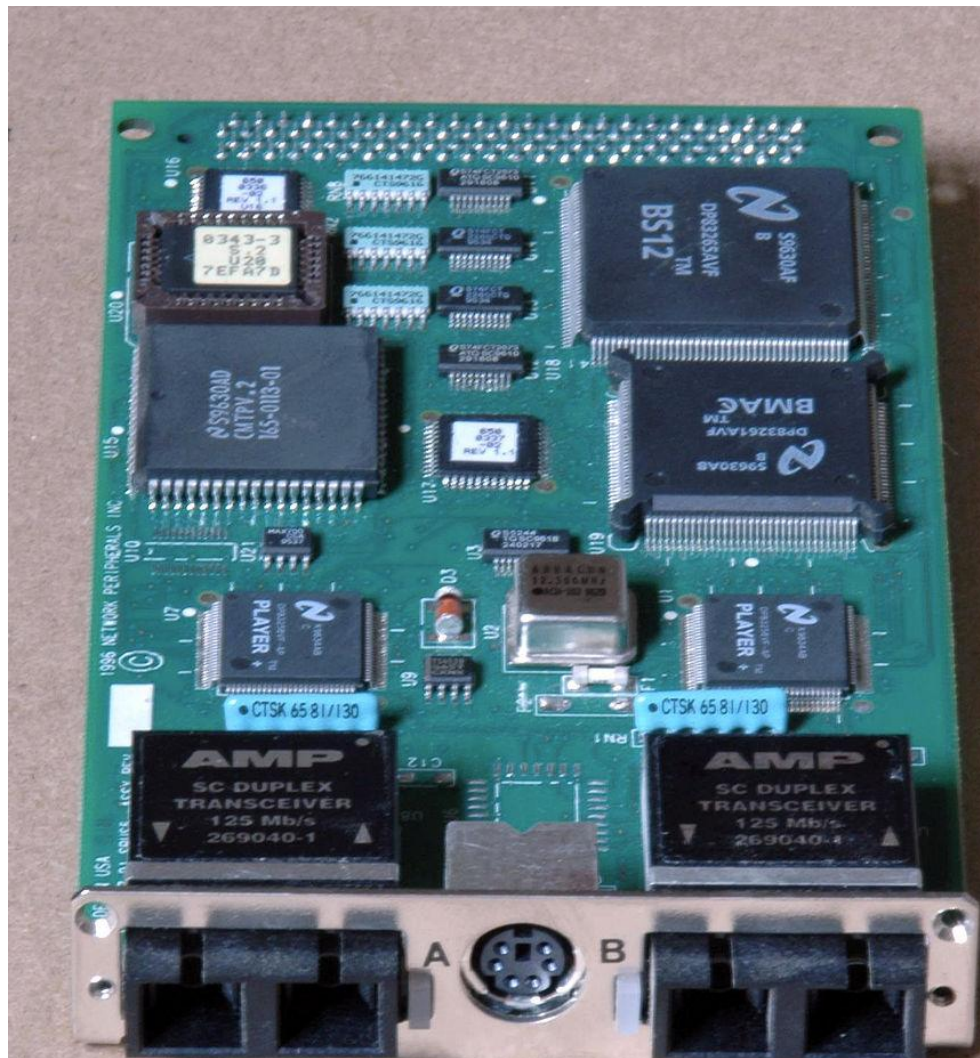
FTTH

- ▶ FTTN: Fiber to the node, neighborhood
- ▶ FTTC: Fiber to the curb
- ▶ FTTB: Fiber to the building
- ▶ FTTH: Fiber to the home



FDDI

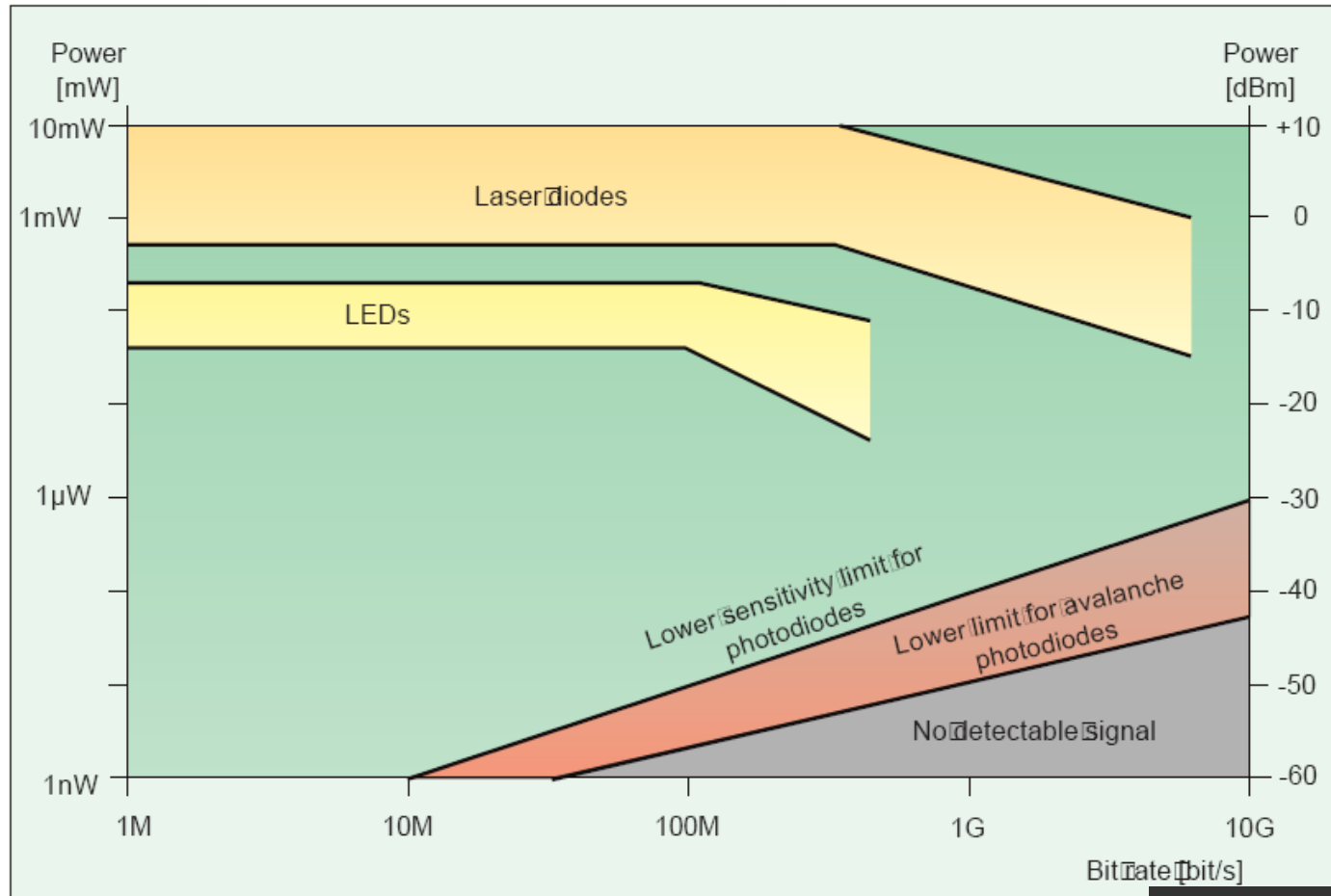
- ▶ Fiber Distributed Data Interface



Dimensionarea unei legături pe fibra optică

Capitolul 6

Limite putere/bandă a dispozitivelor optoelectronice

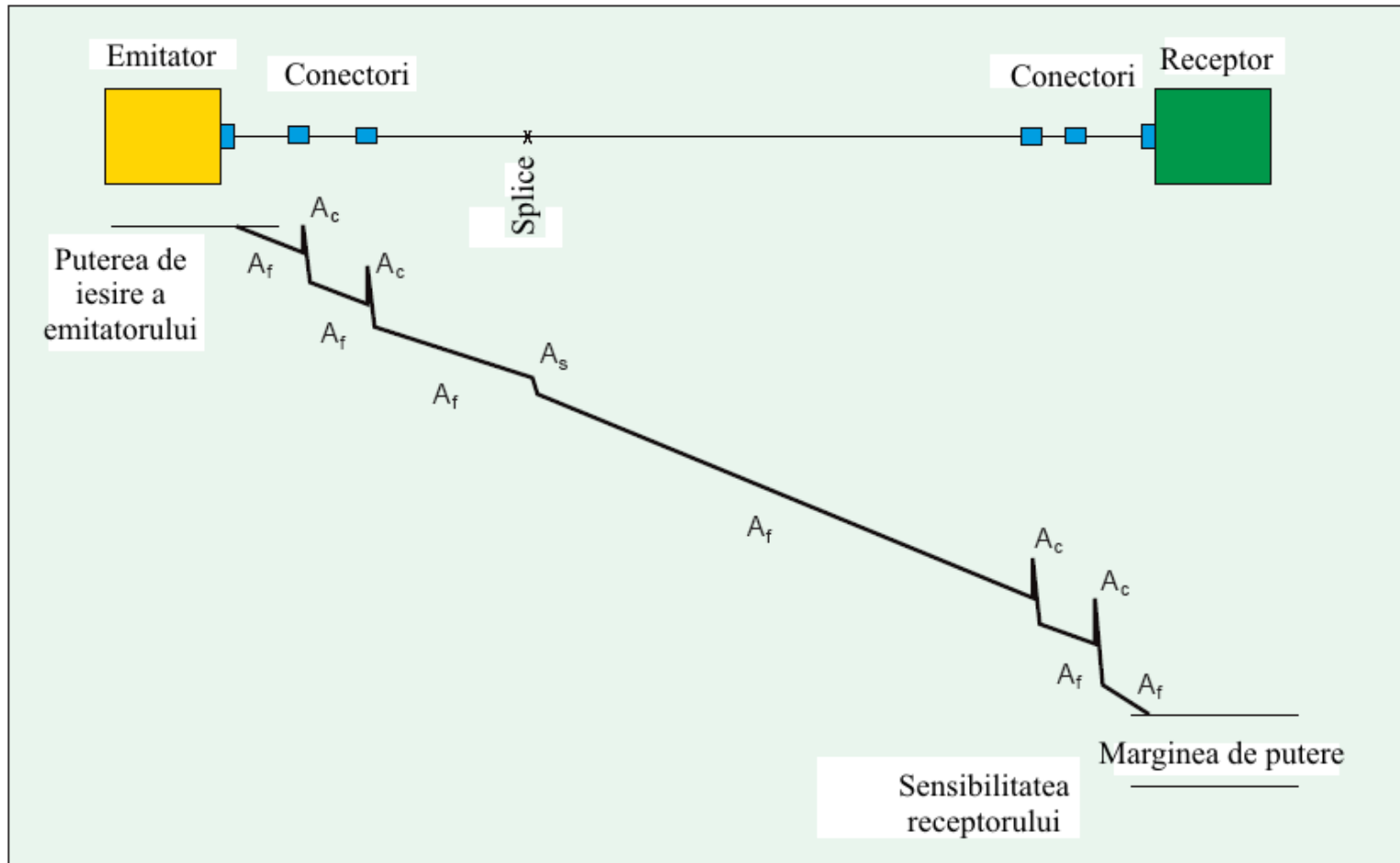


$$\text{dB} = 10 \cdot \log_{10} (P_2 / P_1)$$

$$\text{dBm} = 10 \cdot \log_{10} (P / 1 \text{ mW})$$

$$[\text{dBm}] + [\text{dB}] = [\text{dBm}]$$

Legatura pe fibra optica

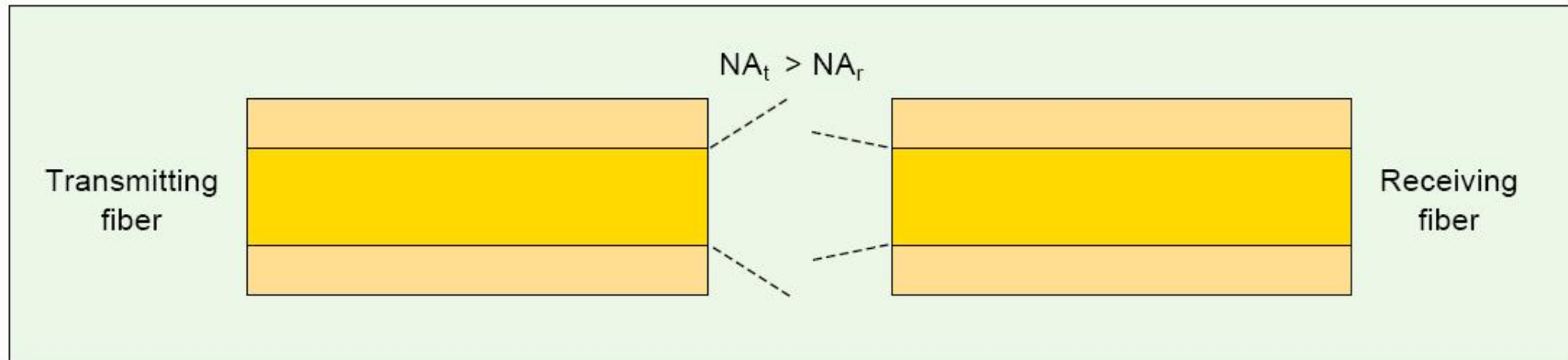


Atenuare

- ▶ Macrocurburi
 - utilizator, **localizat**, dB
- ▶ Discontinuitate in fibra
 - utilizator, **localizat**, dB
- ▶ Microcurburi
 - **distribuit**, tehnologie, dB/km
- ▶ Imprastiere
 - **distribuit**, tehnologie, dB/km
- ▶ Absorbtie
 - **distribuit**, material, dB/km

Pierderi – Apertura numerica

- ▶ **Numai** la trecerea de la apertura numerica mai mare la apertura numerica mai mica



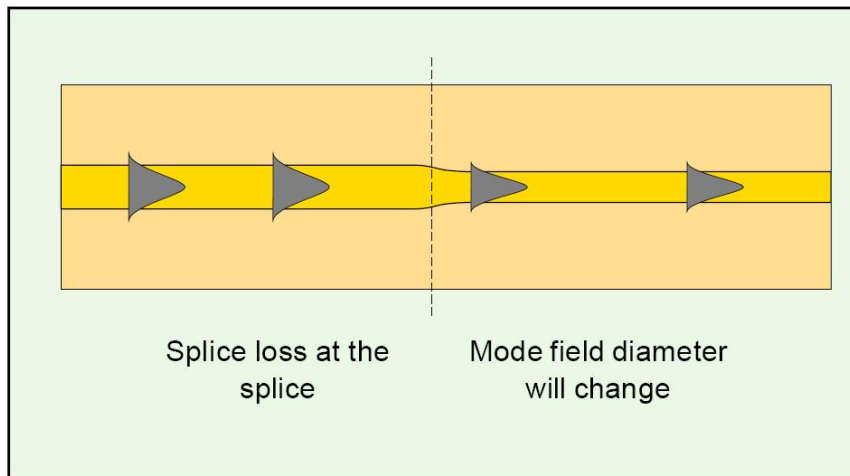
$$\text{Atenuare}_{\text{NA}}[\text{dB}] = -10 \cdot \log_{10} \left(\frac{NA_r}{NA_t} \right)^2$$

numai pentru $NA_r < NA_t$

$$\text{Atenuare}_{\text{NA}}[\text{dB}] > 0$$

Pierderi - Diametrul miezului

- ▶ **Numai** la trecerea de la diametru mai mare la diametru mai mic (multimod)
- ▶ **Bidirectional** (monomod)



▶ multimod

$$\text{Atenuare}_{\Phi} [\text{dB}] = -10 \cdot \log_{10} \left(\frac{\Phi_r}{\Phi_t} \right)^2$$

numai pentru $\Phi_r < \Phi_t$

▶ monomod

$$\text{Atenuare}_{\Phi} [\text{dB}] = -20 \cdot \log_{10} \left(\frac{2 \cdot w_1 \cdot w_2}{w_1^2 + w_2^2} \right)$$

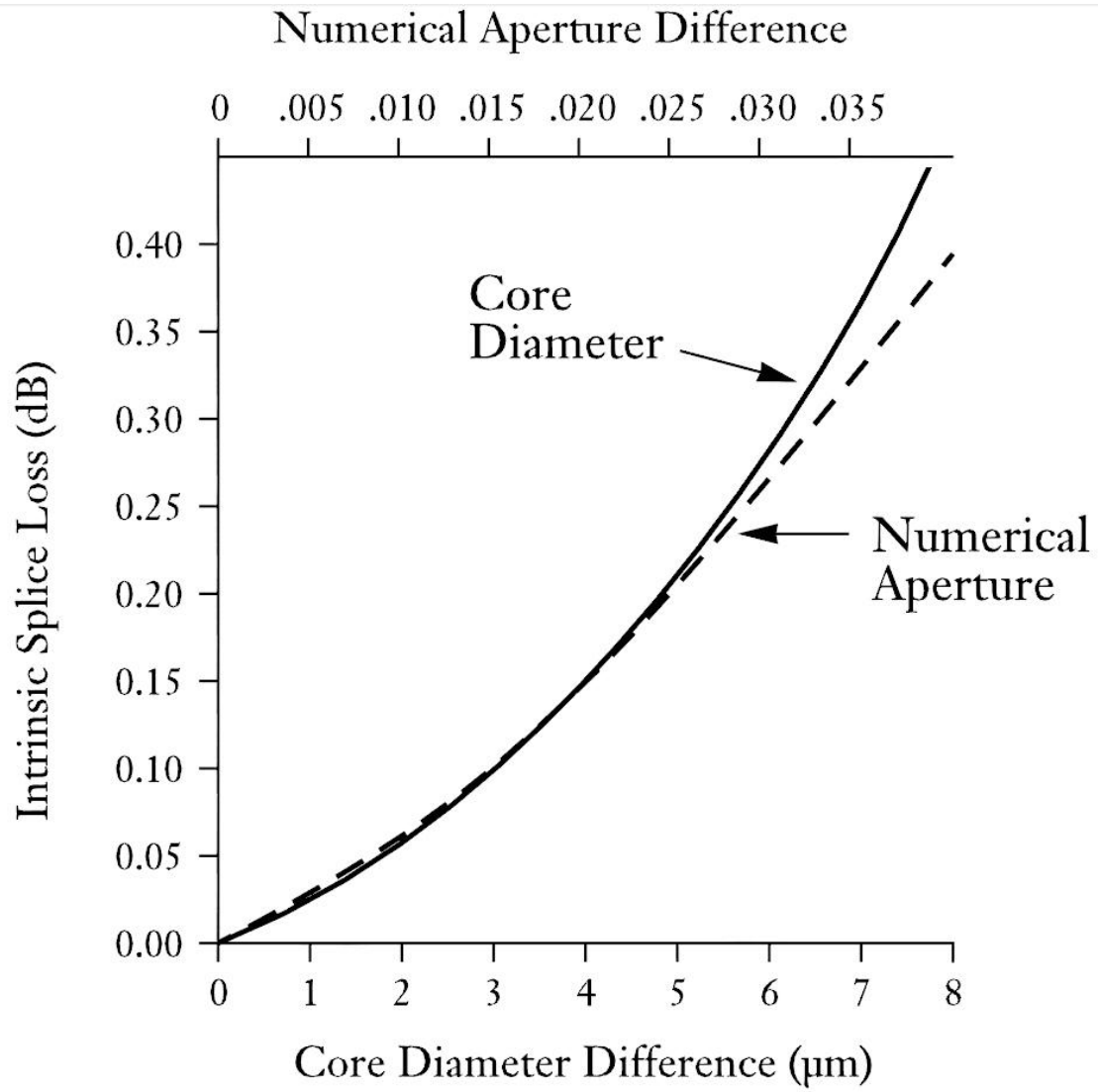
bidirectional $\forall w_1, w_2$

w = MFD !!

$$\text{Atenuare}_{\Phi} [\text{dB}] > 0$$

Pierderi

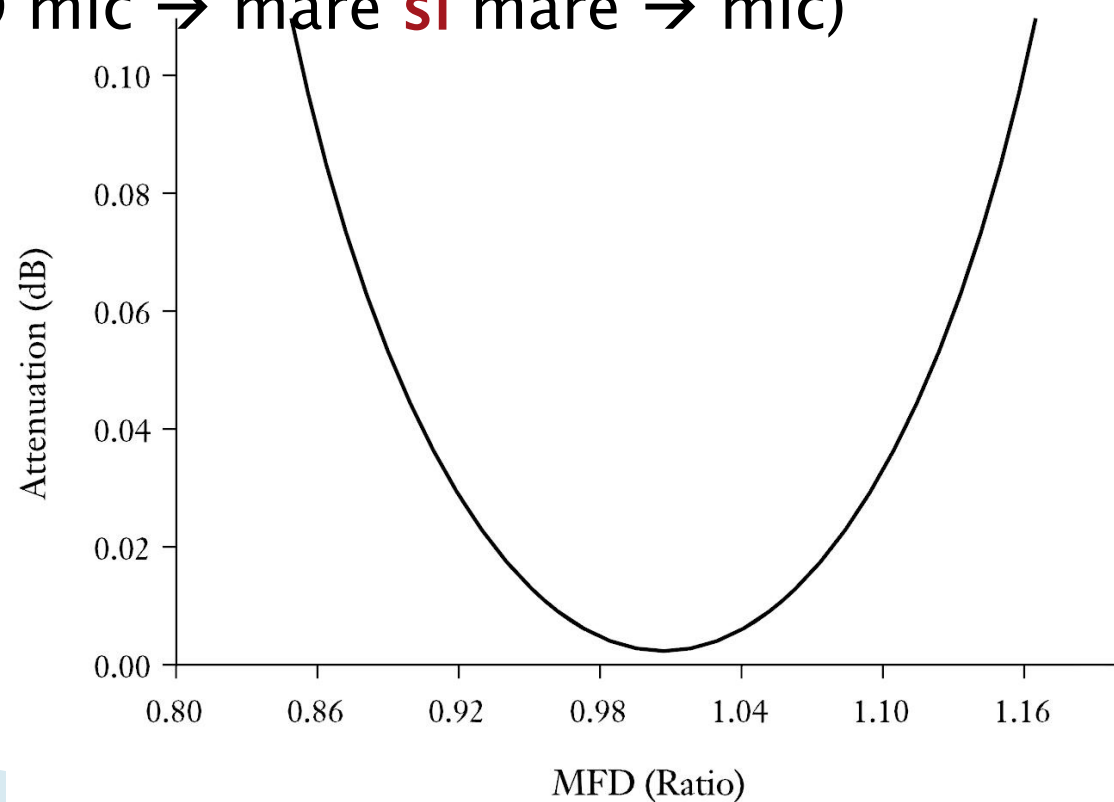
► multimod



Pierderi

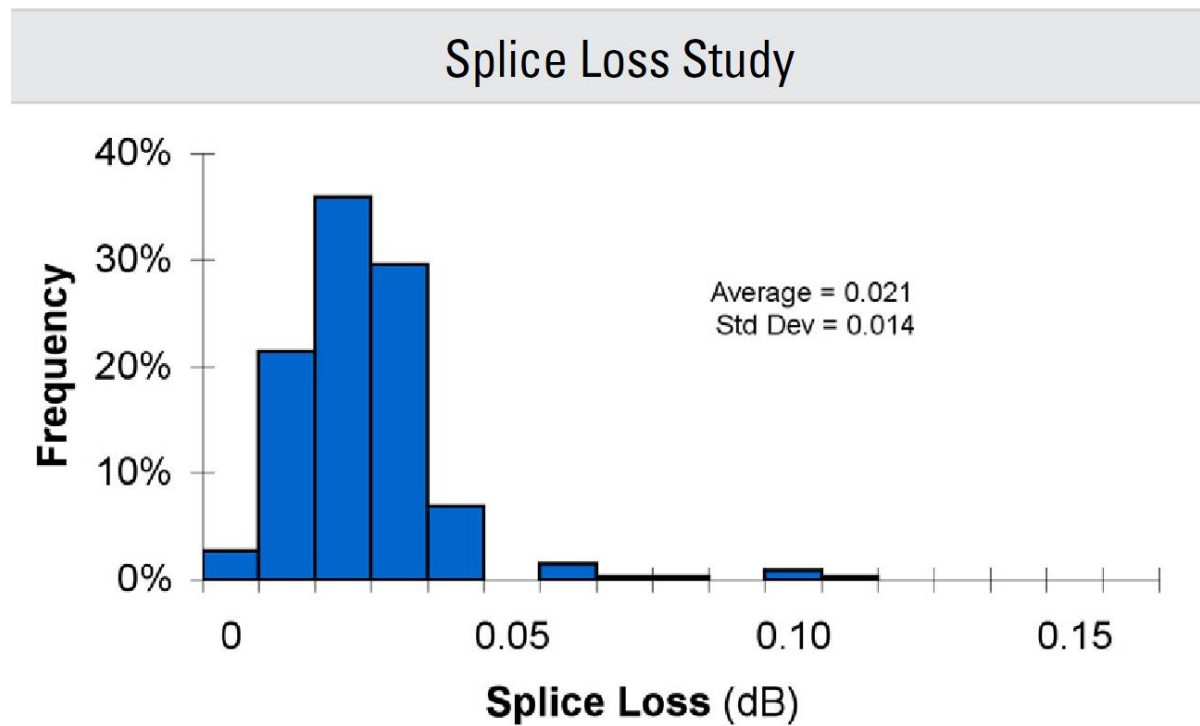
▶ monomod

- predomina pierderile datorate diferențelor de MFD
- se poate neglijă NA
- **Bidirectional** (MFD mic → mare și mare → mic)

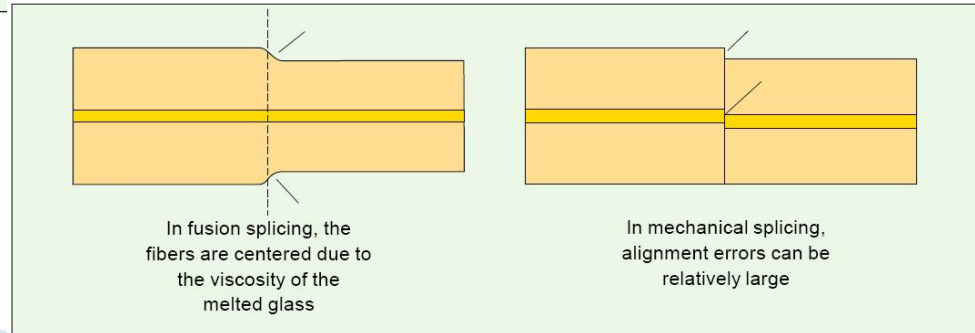
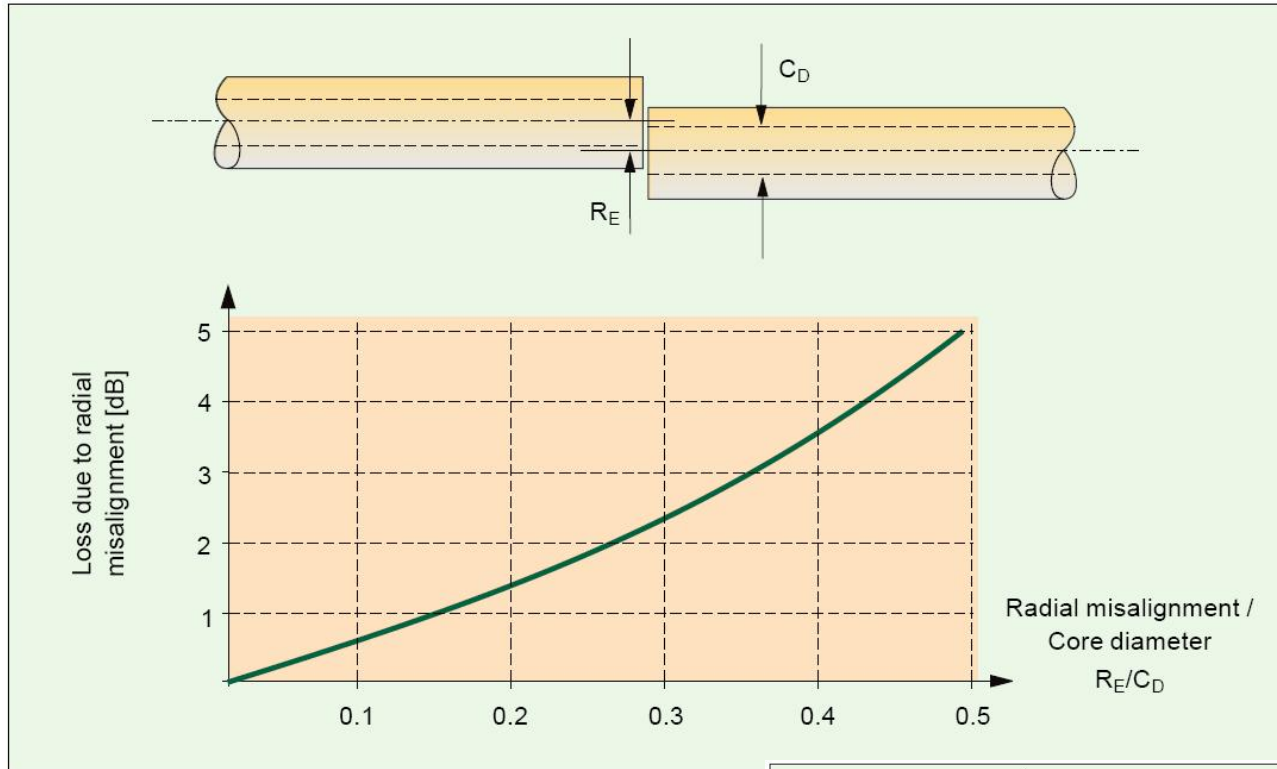


Pierderi

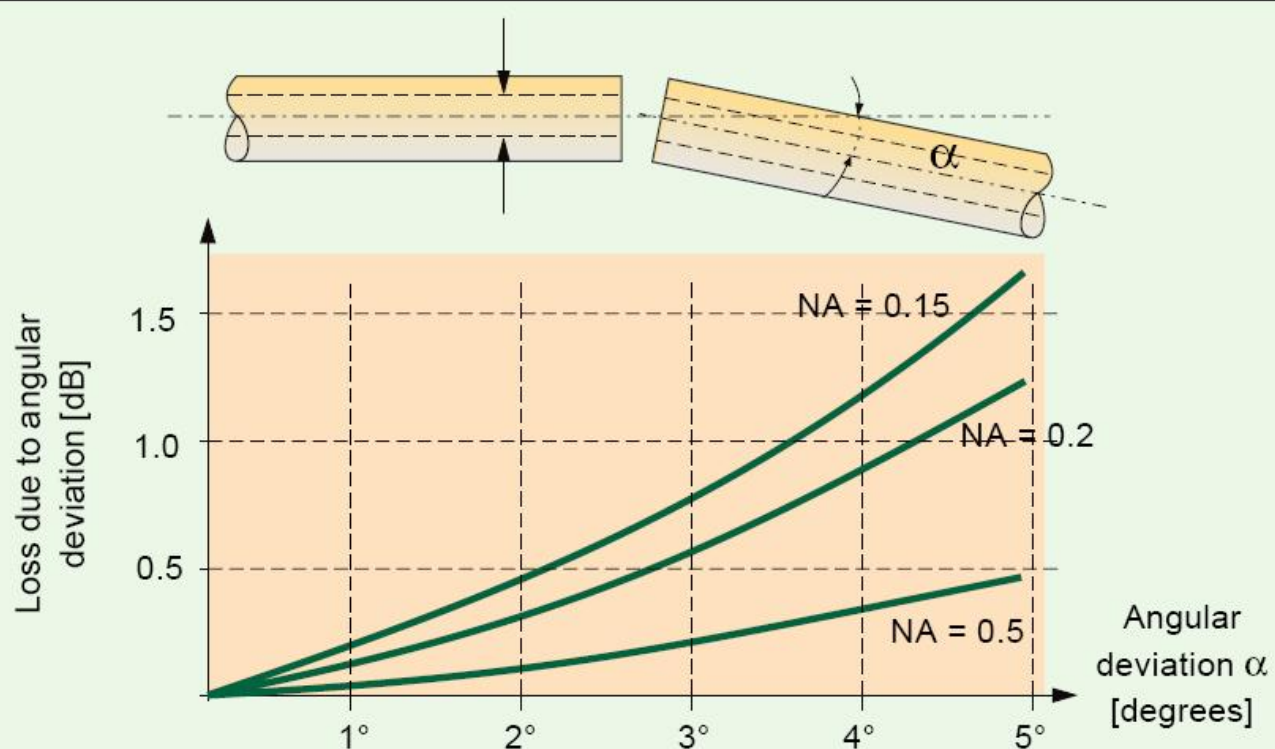
- ▶ monomod
- ▶ tipic: cel mai dezavantajos pentru MFD = $9.3 \pm 0.5 \mu\text{m}$ → $A=0.04\text{dB}$



Pierderi - Nealinierea axelor

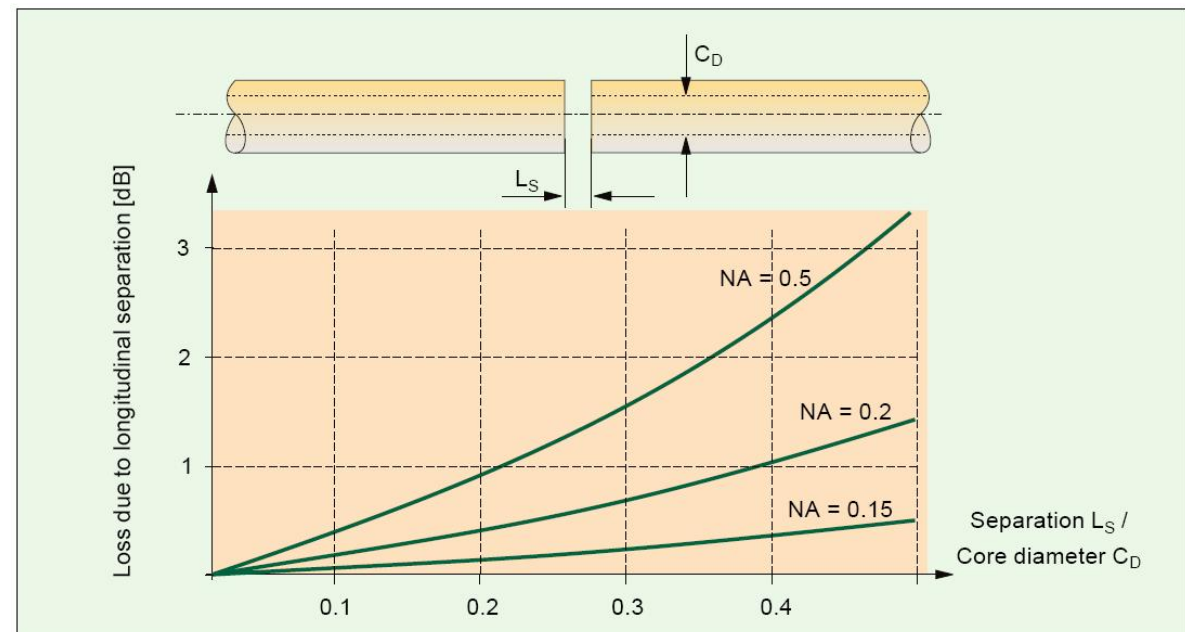


Pierderi - unghi



Pierderi – distanță

- ▶ Se foloseste un gel cu indice de refractie egal cu al fibrelor
- ▶ Se aduna pierderile generate de reflexie pe o lamela (pana la 16%)



Exemplu

- ▶ Trebuie să realizați o legătură pe fibră optică pe o distanță de 50 km la o viteză de 1Gb/s.

Emițători: = 1.5mW ($\Delta\lambda=2\text{nm}$, diverse λ)	NA = 0.17	$\Phi = 13\mu\text{m}$
Pierderi splice (tehnologie)	0.15 dB/splice	
Pierderi conector	0.5 dB/conector	
Cablu conexiune: L = 20m	NA = 0.12	fibră: 11/125 μm
Cablu conexiune: L = 20m	NA = 0.15	fibră: 11/125 μm
Fibra 1	8 X 5km	
Fibra 2	4 X 10km	
Fibra 3	8 X 5km	
Fibra 4	4 X 10km	
Receptor: Sensitivitate = 1 μW	NA = 0.25	$\Phi = 30\mu\text{m}$

Catalog

Optical Specifications

Fibra nr. 3

Fiber Attenuation

Wavelength (nm)	Maximum Attenuation (dB/km)
1310	0.33 ± 0.35
1383**	0.31 ± 0.35
1490	0.21 ± 0.24
1550	0.19 ± 0.20
1625	0.20 ± 0.23

*Maximum specified attenuation value available within the stated ranges.

**Attenuation values at this wavelength represent post-hydrogen aging performance.

Alternate attenuation offerings available upon request.

Attenuation vs. Wavelength

Range (nm)	Ref. λ (nm)	Max. α (dB/km)	Difference (nm)
1285 – 1330	1310	0.03	
1525 – 1575	1550	0.02	

The attenuation in a given wavelength range does not exceed the attenuation of the reference wavelength (λ) by more than the value α .

Mandrel Loss

Mandrel (mm)	Number of Turns	Wavelength (nm)	Induced Attenuation* (dB)
32	1	1550	±0.03
50	100	1310	±0.03
50	100	1550	±0.03
60	100	1625	±0.03

*The induced attenuation due to fiber wrapped around a mandrel of a specified diameter.

Point Discontinuity

Wavelength (nm)	Point Discontinuity (dB)
1310	±0.05
1550	±0.05

Dimensional Specifications

Glass Geometry

Fiber Curl	≤ 4.0 in radius of curvature
Cladding Diameter	125.0 ± 0.7 μm
Core-Clad Concentricity	≤ 0.5 μm
Cladding Non-Circularity	≤ 0.7%

Environmental Specifications

Environmental Test	Test Condition	Induced Attenuation 1310 nm, 1550 nm & 1625 nm (dB/km)
Temperature Dependence	-60°C to +85°C*	±0.05
Temperature Humidity Cycling	-10°C to +85°C* up to 98% RH	±0.05
Water Immersion	23° ± 2°C	±0.05
Heat Aging	85° ± 2°C*	±0.05

*Reference temperature = +23°C.

Operating Temperature Range: -60°C to +85°C.

Cable Cutoff Wavelength (λ_{ccf})

$\lambda_{ccf} \leq 1260 \text{ nm}$

Mode-Field Diameter

Wavelength (nm)	MF D (μm)
1310	9.4 ± 0.4
1550	10.6 ± 0.5

Dispersion

Wavelength (nm)	Dispersion Value [ps/(nm·km)]
1550	±18
1625	±23

Zero Dispersion Wavelength (λ_0): 1310 nm ≤ λ_0 ≤ 1324 nm
Zero Dispersion Slope (S_d): ± 0.09 ps/(nm²·km)

Polarization Mode Dispersion (PMD)

PMD Link Design Value	Value (ps/v/km)
Maximum Individual Fiber	±0.06*

*Complies with IEC 60794-3, 2001, Section 5.5, Method 1, September 2001.

The PMD link design value is a term used to describe the PMD of concatenated lengths of fiber (also known as PMD₀). This value represents a statistical upper limit for total link PMD. Individual PMD values may change when cabled. Corning's fiber specification supports network design requirements for a 0.5 ps/km maximum PMD.

Coating Geometry

Coating Diameter	245 ± 5 μm
Coating-Cladding Concentricity	<12 μm

Mechanical Specifications

Proof Test

The entire fiber length is subjected to a tensile stress ±100 kpsi (0.7 GPa)*.
*Higher proof test levels available.

Length

Fiber lengths available up to 50.4 km/spool.
*Longer spliced lengths available.

Performance Characterizations

Characterized parameters are typical values.

Core Diameter

8.2 μm

Numerical Aperture

0.14

N.A. is measured at the one percent power level of a one-dimensional far-field scan at 1310 nm.

Zero Dispersion Wavelength (λ_0)

1317 nm

Zero Dispersion Slope (S_d)

0.088 ps/(nm²·km)

Effective Group Index (n_{eff})

1310 nm: 1.4670

1550 nm: 1.4677

Fatigue Resistance Parameter (N_f)

20

Dry: 0.6 lbs. (3N)

Wet: 14-day room temperature: 0.6 lbs. (3N)

Rayleigh Backscatter Coefficient (for 1 ns Pulse Width)

1310 nm: -77 dB

1550 nm: -82 dB

Stimulated Brillouin Scattering Threshold

20 dBm⁰

Note:

(1) When characterized with a transmitter consisting of 17 dB SBS threshold over standard single-mode fiber. While absolute SBS threshold is a function of distance and signal format, NexCor fiber offers a 3 dB improvement over standard single-mode fiber independent of these variables.

Formulas

Dispersion

$$\text{Dispersion} = D(\lambda) = \frac{S_d}{4} \left[(\lambda - \frac{\lambda_0}{k}) \right] \text{ps}/(\text{nm} \cdot \text{km}) \quad \text{for } 1200 \text{ nm} \leq \lambda \leq 1625 \text{ nm}$$

λ = Operating Wavelength

Cladding Non-Circularity

$$\text{Cladding Non-Circularity} = \left[1 - \frac{\text{Min. Cladding Diameter}}{\text{Max. Cladding Diameter}} \right] \times 100$$

How to Order

Contact your sales representative, or call the Optical Fiber Customer Service Department:
Ph: 607-248-2000 (U.S. and Canada)
44-1244-287-437 (Europe)
Email: opticalfibers@corning.com
Please specify the fiber type, attenuation and quantity when ordering.

Corning Incorporated

www.corning.com/opticalfiber

One Riverfront Plaza

Corning, NY 14831

U.S.A.

Ph: 800-525-2324 (U.S. and Canada)

607-786-8125 (International)

Fx: 800-519-3632 (U.S. and Canada)

607-786-8344 (International)

Email: cocf@corning.com

Europe

Ph: 00 800 662 6621 (U.K., Ireland, Italy, France, Germany, The Netherlands, Spain and Sweden)

+44 1244 287 437 (All Other Countries)

Fx: +44 1244 383 8344

Australia

Ph: 1-800-148-690

Fx: 0800-48-568

Indonesia

Ph: 061-803-015-721-1261

Fx: 061-803-015-721-1262

Malaysia

Ph: 1-800-40-3156

Fx: 1-800-40-3155

Philippines

Ph: 1-800-1-116-0338

Fx: 1-800-1-116-0339

Singapore

Ph: 800-1-300-955

Fx: 800-1-300-956

Thailand

Ph: 001-803-1-3-721-1263

Fx: 001-803-1-3-721-1264

Latin America

Brazil

Ph: 00817-762-4732

Fx: 00817-762-4996

Mexico

Ph: 001-800-213-1719

Fx: 001-800-319-1472

Venezuela

Ph: 800-1-4418

Fx: 800-1-4419

Greater China

Email: GCCInfo@corning.com

Beijing

Ph: (86) 10-6505-5066

Fx: (86) 10-6505-5077

Hong Kong

Ph: (852) 2-2807-2723

Fx: (852) 2-2807-2152

Shanghai

Ph: (86) 2-3222-4668

Fx: (86) 2-6288-1575

Taiwan

Ph: (886) 2-2716-0338

Fx: (886) 2-2716-0339

Note: Corning is a trademark, and Corning and SBS™ are registered trademarks, of Corning Incorporated, Corning, N.Y.

Any warranty or any terms relating to any Corning optical fiber is only contained in the written agreement between Corning and its distributor or reseller, and does not extend to any other person.

©2007, Corning Incorporated

Intrebari

- ▶ (1p) Ce lungime de undă veți alege pentru emițător? Justificați.
- ▶ (2p) Alegeti fibrele pe care le veți utiliza. Justificați. Realizați schița legăturii
- ▶ (1p) Puteți realiza o legătură funcțională? Justificați.

Zero Dispersion

Wavelength (λ_0)

1317 nm

Zero Dispersion Slope (S_0)

0.088 ps/(nm²•km)

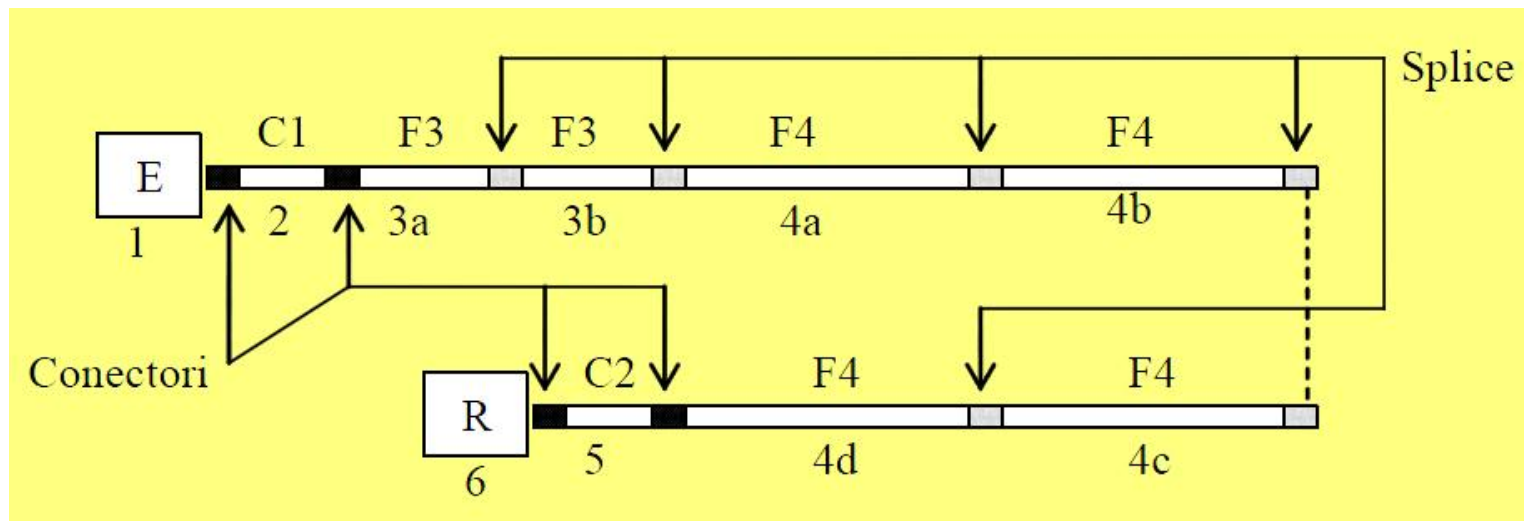
Legatura

► Bilantul puterilor

$$A_{tot}[\text{dB}] = \sum_i A_i[\text{dB}]$$

$$P_e[\text{dBm}] \pm A_{tot}[\text{dB}] \geq S_r[\text{dBm}] + M[\text{dB}]$$

<i>Maximum Attenuation</i>	
Wavelength (nm)	Maximum Value* (dB/km)
1310	0.33 – 0.35
1383**	0.31 – 0.35
1490	0.21 – 0.24
1550	0.19 – 0.20
1625	0.20 – 0.23



Sistem

- ▶ 1. Emitter
- ▶ 2. Cablu 1 de conexiune
- ▶ 3. Fibra 3 (2 cabluri a 5 km fiecare: 3a,3b)
- ▶ 4. Fibra 4 (4 cabluri a 10 km fiecare:
4a,4b,4c,4d)
- ▶ 5. Cablu 2 de conexiune
- ▶ 6. Receptor

Atenuare

▶ Distribuita

- microcurburi
- imprastiere
- absorbtie

▶ Localizata

- macrocurburi
- conectori
- splice
- tranzitii

$$\text{Atenuare}_D[\text{dB}/\text{km}] = \frac{\text{Pierderi}[\text{dB}]}{\text{lungime}[\text{km}]}$$

$$\text{Atenuare}_L[\text{dB}] = \text{Pierderi}[\text{dB}]$$

$$A_{TOT}[\text{dB}] = A_L[\text{dB}] + A_D[\text{dB}/\text{km}] \cdot L[\text{km}]$$

Pierderi

- ▶ Atenuare in fibra
- ▶ Atenuare datorata conectorilor
- ▶ Atenuare datorata splice-urilor
- ▶ Atenuare datorata diferentelor de apertura numerica
 - apare **numai** la trecerea de la un dispozitiv cu NA mai mare la un dispozitiv cu NA mai mic
 - **neglijabil** intre 2 fibre monomod sudate
- ▶ Atenuare datorata diferentelor de diametru
 - apare **numai** la trecerea de la un dispozitiv cu diametru mai mare la un dispozitiv cu diametru mai mic
 - **bidirectional** la fibre monomod sudate

Dispersie

$$\Delta\tau_{\text{mod}} \cong \frac{L \cdot n_2 \cdot \Delta}{2\sqrt{3} \cdot c} \approx \frac{L \cdot NA^2}{4\sqrt{3} \cdot c \cdot n_2}$$

$$\Delta\tau_{\text{cr}} = D(\lambda) \cdot \Delta\lambda \cdot L$$

$$\Delta\tau_{\text{tip}} = \sum_i \Delta\tau_i$$

$$\Delta\tau_{\text{tot}} = \sqrt{\Delta\tau_{\text{cr}}^2 + \Delta\tau_{\text{mod}}^2}$$

$$V[\text{Gb/s}] \cong 2 \cdot B_{el}$$

$$\Delta\tau_{\text{mod}} \cong \frac{L \cdot n_2 \cdot \Delta^2}{4\sqrt{3} \cdot c} \cong \frac{L \cdot NA^4}{16\sqrt{3} \cdot c \cdot n_2^3}$$

$$D(\lambda) = \frac{S_0}{4} \cdot \left(\lambda - \frac{\lambda_0^4}{\lambda^3} \right)$$

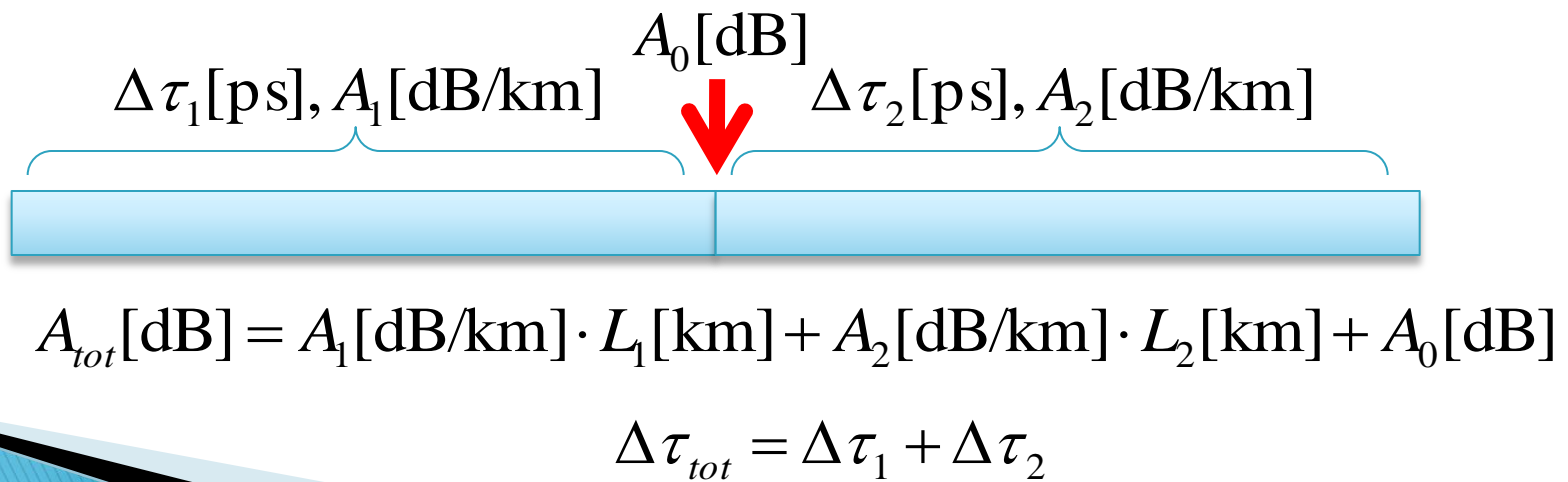
$$B_{opt} = \frac{0.44}{\Delta\tau_{\text{tot}} [\text{ns}]} \quad [\text{GHz}] \quad B_{opt} = \sqrt{2} B_{el}$$

$$B_{3\text{dB, electric}} (\text{GHz}) = \frac{0.35}{T(\text{ns})}$$

$$\text{NRZ}_{\text{viteza date}} (\text{Gbit/s}) = \frac{1}{T_{\text{impuls}} (\text{ns})} \leq \frac{0.67}{T(\text{ns})}$$

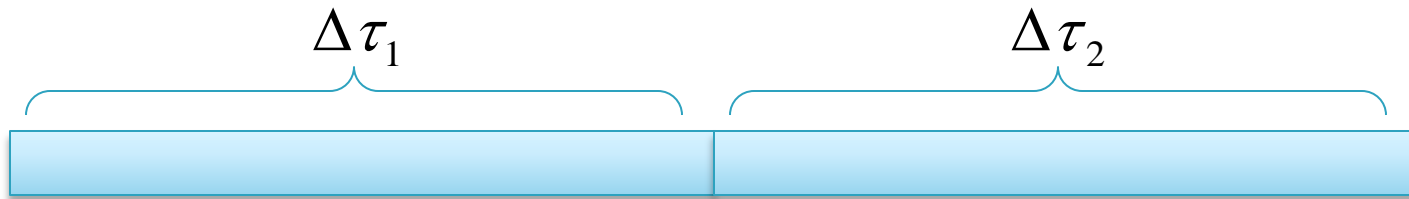
Sisteme cu mai multe tipuri de fibra

- ▶ Fibra tip 1 conectata/sudata cu fibra tip 2
- ▶ efecte **successive** se adună liniar
- ▶ la nivelul splice-ului apare o atenuare **localizata**:
 - atenuare pe splice/conector
 - atenuare datorita **NA** diferit (**daca** este cazul)
 - atenuare datorita **Φ** diferit (**daca** este cazul)



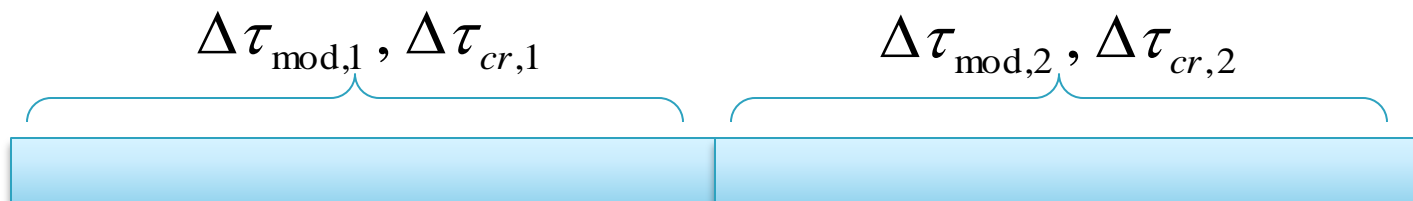
Sisteme cu mai multe tipuri de fibra

- efecte **successive** se adună liniar



$$\Delta\tau_{tot} = \Delta\tau_1 + \Delta\tau_2$$

- dar pe fiecare fibra există efecte **simultane** (pentru dispersie) care se adună pătratic

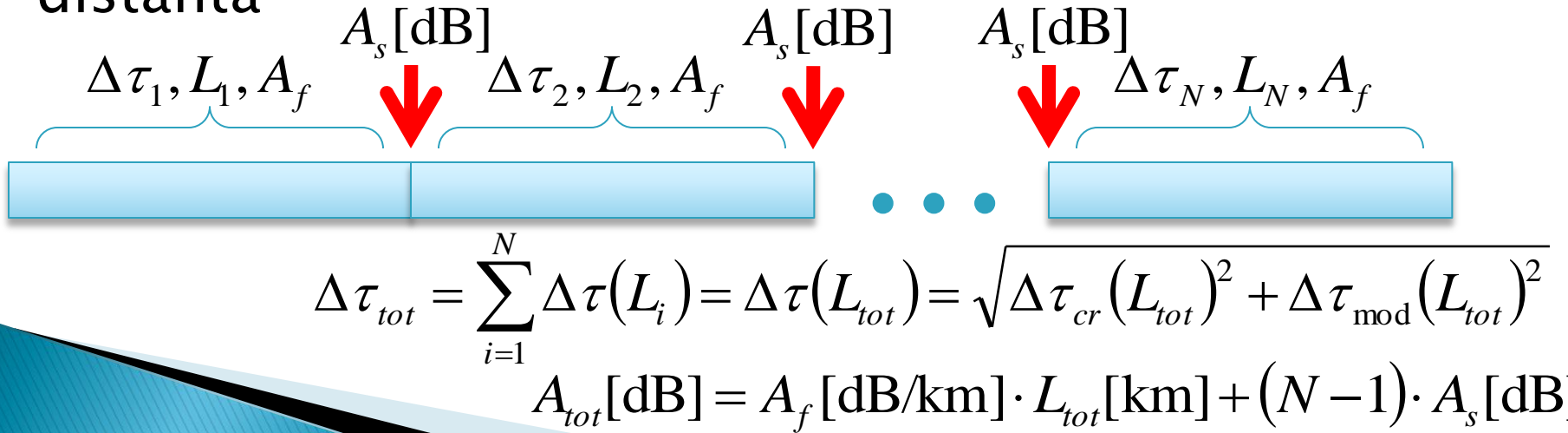


$$\Delta\tau_1 = \sqrt{\Delta\tau_{cr,1}^2 + \Delta\tau_{mod,1}^2}$$

$$\Delta\tau_2 = \sqrt{\Delta\tau_{cr,2}^2 + \Delta\tau_{mod,2}^2}$$

Sisteme cu acelasi tip de fibra

- ▶ N tronsoane cu acelasi tip de fibra conectate/sudate
 - atenuare datorita NA **nula (acelasi tip)**
 - atenuare datorita Φ **nula (acelasi tip)**
 - atenuare pe splice/conector: N-1 conectori
 - lungime totala:
- ▶ efecte **successive** se adună liniar
- ▶ efectele (dispersie si atenuare) proportionale cu distanta



Produs Banda · Distanță

$$\Delta\tau_{\text{mod}} \cong \frac{L \cdot n_2 \cdot \Delta}{2\sqrt{3} \cdot c} \approx \frac{L \cdot N A^2}{4\sqrt{3} \cdot c \cdot n_2}$$

$$\Delta\tau_{\text{tot}} = \sqrt{\Delta\tau_{\text{cr}}^2 + \Delta\tau_{\text{mod}}^2}$$

$$\Delta\tau_{\text{cr}} = D(\lambda) \cdot \Delta\lambda \cdot L$$

$$\Delta\tau_{\text{tot}} = \text{const} \cdot L$$

$$B_{\text{opt}} = \frac{0.44}{\Delta\tau_{\text{tot}} [\text{ns}]} \quad [\text{GHz}] \qquad B_{\text{opt}} = \sqrt{2} B_{\text{el}} \qquad V[\text{Gb/s}] \cong 2 \cdot B_{\text{el}}$$

$$V[\text{Gb/s}] \cong \frac{\text{const}}{L}$$

$$V[\text{Gb/s}] \cdot L[\text{km}] \cong \text{const}$$

Lungime maxima

- ▶ **limitata de atenuare**
- ▶ lungimea cea mai mare la care pot face transmisia este obtinuta in cazul cel mai defavorabil
 - cele mai mici pierderi permise
 - atenuare distribuita maxima

$$A_{TOT} [\text{dB}] = A_L [\text{dB}] + A_D [\text{dB/km}] \cdot L [\text{km}]$$

$$\text{Atenuare} [\text{dB/km}] = \frac{\text{Pierderi}_D [\text{dB}]}{\text{lungime} [\text{km}]} \qquad L_{\max} \Rightarrow \Delta P_{\min}, A_{D\max}$$

$$L_{\max} = \frac{\Delta P_{\min} [\text{dB}]}{A_{D\max} [\text{dB/km}]} = \frac{P_{e\min} [\text{dBm}] - S_{r\max} [\text{dBm}] - A_L [\text{dB}]}{A_{D\max} [\text{dB/km}]}$$

de obicei problema distantei maxime limitate de atenuare se pune pentru fibre **monomod**

Lungime maxima

- ▶ **limitata de viteza**
- ▶ lungimea cea mai mare la care pot face transmisia este obtinuta in cazul cel mai defavorabil
 - dispersie maxima
- ▶ doua cazuri in functie de cum e specificata dispersia
 - $B \times L$ [MHz·km]
 - S_0 [ps/nm²/km], λ_0 [nm]

$$B_{el\ min} \cong \frac{V_{min} [Gb/s]}{2}$$

$\Delta\tau_{totmax}$ [ns]

$$B_{optmin} = \sqrt{2} B_{el\ min}$$

$$\Delta\tau_{totmax} [\text{ns}] = \frac{0.44}{B_{optmin} [\text{GHz}]}$$

$$L_{max} = \frac{\Delta\tau_{totmax}}{D(\lambda) \cdot \Delta\lambda}$$

$B \times L$ [MHz·km]

$$L_{max} [\text{km}] = \frac{B \times L [\text{MHz} \cdot \text{km}]}{B_{el\ min} [\text{MHz}]}$$

Lungime maxima

- ▶ **limitata de atenuare** $L_{\max}^a \text{ [km]}$
- ▶ **limitata de viteza** $L_{\max}^v \text{ [km]}$

- ▶ lungimea cea mai mare la care pot face transmisia este obtinuta in cazul cel mai defavorabil (din cele doua limitari)
$$L_{\max} \text{ [km]} = \min(L_{\max}^a \text{ [km]}, L_{\max}^v \text{ [km]})$$
- ▶ **de obicei**
 - monomod: limita impusa de atenuare
 - cu exceptia cazurilor in care nu se functioneaza la λ optim dpdv al dispersiei
 - multimod: limita impusa de viteza

Calculul atenuarii

$$\text{Pierderi} = \frac{P_{out}}{P_{in}}$$



$$\text{Pierderi [dB]} = [-] 10 \cdot \log_{10} \left(\frac{P_{out}}{P_{in}} \right)$$

$$\text{Pierderi [dB]} = [-] (P_{out} [\text{dBm}] - P_{in} [\text{dBm}])$$



$$\text{Atenuare [dB/km]} = \frac{\text{Pierderi [dB]}}{\text{lungime [km]}}$$

Problema simplă?

- ▶ Sursa luminoasa: 7.7 dBm
- ▶ Atenuarea fibrei: 1.16 dB/km
- ▶ Puterea la ieșire: 105 μW
- ▶ Lungimea fibrei: ?

Problema simplă?

► Logaritmic

- $P_{\text{out}} = 10 \cdot \log (105 \mu\text{W} / 1 \text{ mW}) = -9.8 \text{ dBm}$!
- Atenuarea : $A_f = P_{\text{in}}[\text{dBm}] - P_{\text{out}}[\text{dBm}] = 17.5 \text{ dB}$!
- $L = A_f / A_{\text{dB/km}} = 17.5 \text{ dB} / 1.16 \text{ dB/km} = 15.08 \text{ km}$

► Liniar

- $P_{\text{in}} = 1 \text{ mW} \cdot 10^{7.7/10} = 5.888 \text{ mW}$
- Atenuarea : $A_f = P_{\text{in}} / P_{\text{out}} = 5.888 \text{ mW} / 0.105 \text{ mW} = 56.0762 [1]$!
- Atenuarea pe unitatea de lungime $A_{1/\text{km}} = 10^{1.16/10} = 1.3062 [1]$!
- $A_f = (A_{1/\text{km}})^{L/1\text{km}} \rightarrow L = 1\text{km} \cdot \log(A_f) / \log(A_{1/\text{km}}) = 1.749 / 0.116 \text{ km} = 15.08 \text{ km}$

Problema simpla? 2

- ▶ Sursa luminoasa: 4.9 dBm
- ▶ Atenuarea fibrei: 0.32 dB/km
- ▶ Lungimea fibrei: 17 km

- ▶ Puterea la iesire: ? [μ W]

Problema simplă? 2

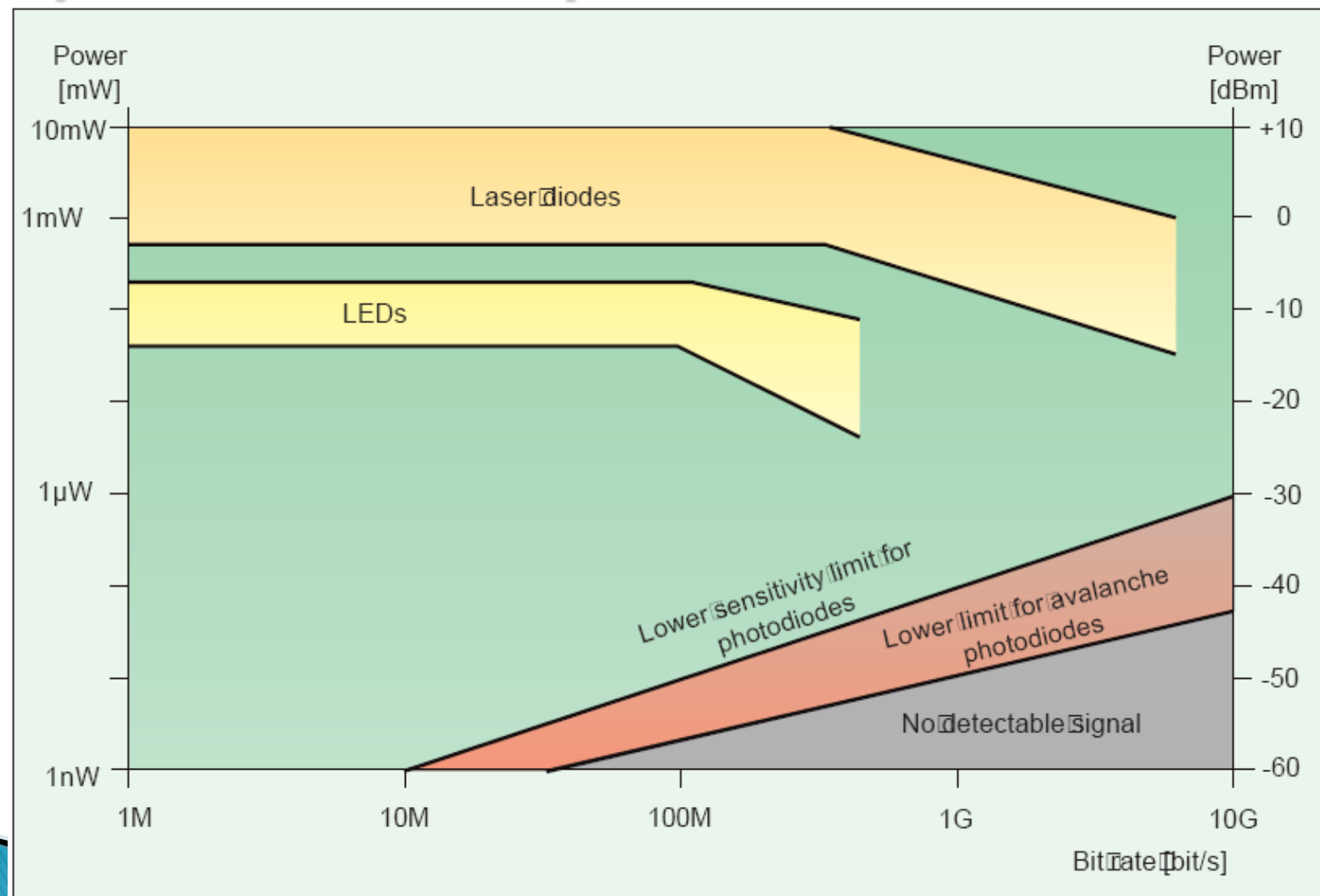
► Logaritmic

- Atenuarea : $A_f = A_{dB/km} \cdot L[km] = 5.44 \text{ dB}$
- $P_{out}[dBm] = P_{in}[dBm] - A_f [dB] = -0.54 \text{ dBm !}$
- $P_{out} = 1 \text{ mW} \cdot 10^{-0.54/10} = 0.883 \text{ mW} = 883 \mu\text{W}$

► Liniar

- Atenuarea : $A_f [dB] = A_{dB/km} \cdot L[km] = 5.44 \text{ dB !}$
- Atenuarea : $A_f [1] = 10^{A_f [dB] / 10} = 3.499 [1] !$
- $P_{in} = 1 \text{ mW} \cdot 10^{4.9/10} = 3.09 \text{ mW}$
- $P_{out} = P_{in} / A_f = 3.09 \text{ mW} / 3.499 = 0.883 \text{ mW} = 883 \mu\text{W}$

Limite putere/bandă a dispozitivelor optoelectronice



LED

Dioda electroluminescentă
Capitolul 7

Caracteristici LED

► Dezavantaje

- Putere redusa (cuplata in fibra) $\sim 100\mu\text{W}$
- Banda (viteza) reduse $\sim 150\text{MHz}$ (300Mb/s)
- Spectru larg $\sim 0.05 \lambda$
- Lumina necoerenta si nedirectiva

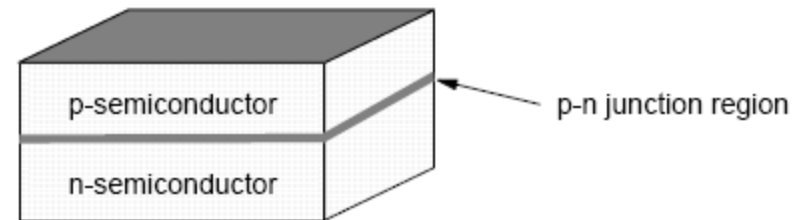
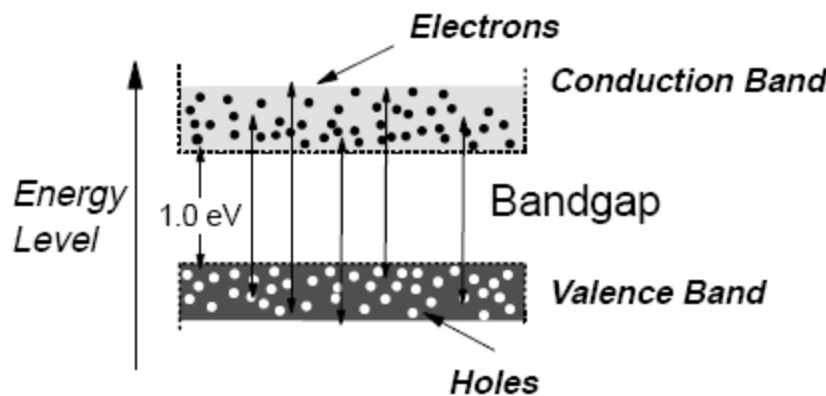
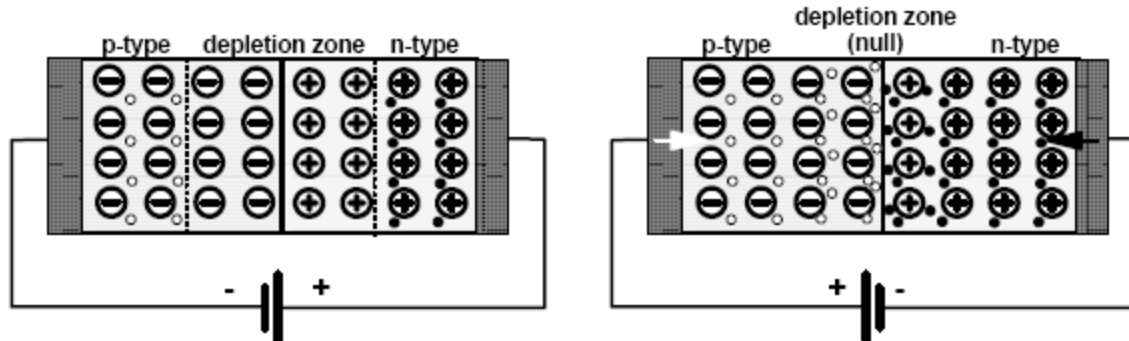
► Avantaje

- Structura interna mult mai simpla (fara suprafete reflective, straturi planare)
- Cost (dispozitiv si circuit de comanda)
- Durata de viata
- Insenzitivitate la temperatura
- Liniaritate (modulatie analogica)

Aplicatii majore LED

- ▶ Comunicatii
 - Infrarosu (InGaAsP)
- ▶ Vizibil
 - Spectru vizibil (GaAlAs)
- ▶ Iluminare
 - Putere ridicata, lumina alba (GaN)

LED – Principiul de operare



LED – Principiul de operare

- ▶ Lumina este generata de o recombinare radiativa dintre un electron si un gol
- ▶ Recombinarea neradiativa transforma energia in caldura
- ▶ Eficienta cuantica $\eta = \frac{R_r}{R_r + R_{nr}}$
- ▶ La recombinarea radiativa $E_g = h\nu; \lambda = \frac{hc}{E_g}$
- ▶ Recombinare eficienta:
 - alegerea judicioasa a materialului
 - concentrarea purtatorilor in zona jonctiunii
- ▶ Lungimea de unda depinde de temperatura de functionare a dispozitivului: $0.6\text{nm}/^\circ\text{C}$

Lățimea benzii interzise/lungime de undă pentru materialele uzuale

Material	Formula	Wavelength Range λ (μm)	Bandgap Energy W_g (eV)
Indium Phosphide	InP	0.92	1.35
Indium Arsenide	InAs	3.6	0.34
Gallium Phosphide	GaP	0.55	2.24
Gallium Arsenide	GaAs	0.87	1.42
Aluminium Arsenide	AlAs	0.59	2.09
Gallium Indium Phosphide	GalnP	0.64-0.68	1.82-1.94
Aluminium Gallium Arsenide	AlGaAs	0.8-0.9	1.4-1.55
Indium Gallium Arsenide	InGaAs	1.0-1.3	0.95-1.24
Indium Gallium Arsenide Phosphide	InGaAsP	0.9-1.7	0.73-1.35

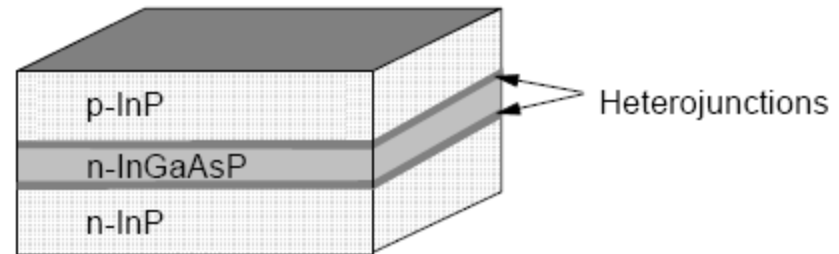
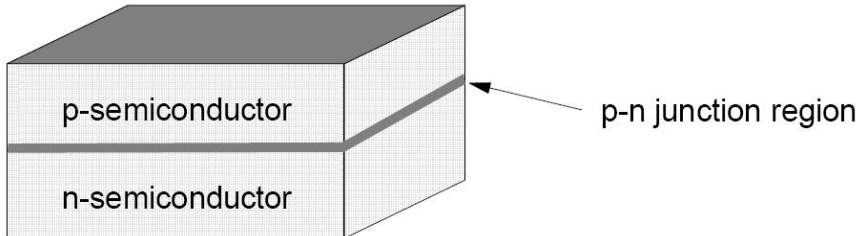
$$E_g = h\nu; \quad \lambda = \frac{hc}{E_g}; \quad \lambda[\mu\text{m}] = \frac{1.240}{E_g[\text{eV}]}$$

- ▶ h constanta lui Plank $6.6261 \cdot 10^{-34} \text{ Ws}^2$
- ▶ c viteza luminii **in vid** $2.998 \cdot 10^8 \text{ m/s}$
- ▶ e sarcina electronului $1.6 \cdot 10^{-19} \text{ C}$
- ▶ benzi energetice: λ_0 , **Δλ**

Detalii constructive – 1

- ▶ Recombinarea unei perechi electron–gol necesita conservarea "impulsului retelei" (cvasiimpuls)
- ▶ În Si și Ge aceasta condiție presupune apariția unui fonon intermediar (tranzitie indirectă) a căruia energie se transformă în căldură
- ▶ Majoritatea aliajelor de aluminiu Al de asemenea au tranzitie indirectă
- ▶ Se utilizează aliaje de Ga Al As sau In Ga As P
- ▶ Materialele utilizate trebuie să fie "transparente" la lungimile de undă emise

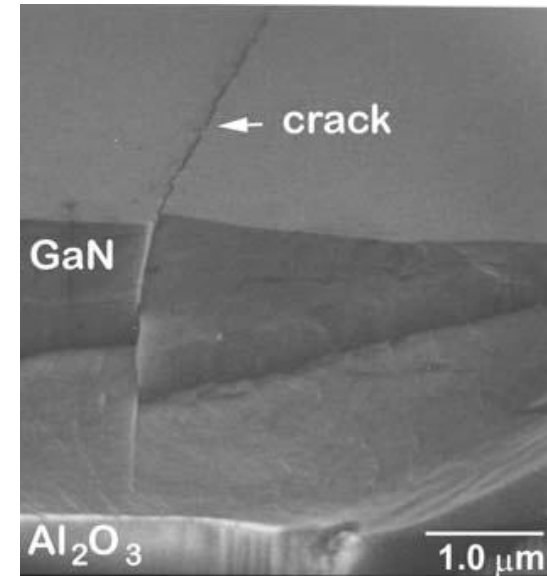
LED cu heterojuncțiuni – principiu



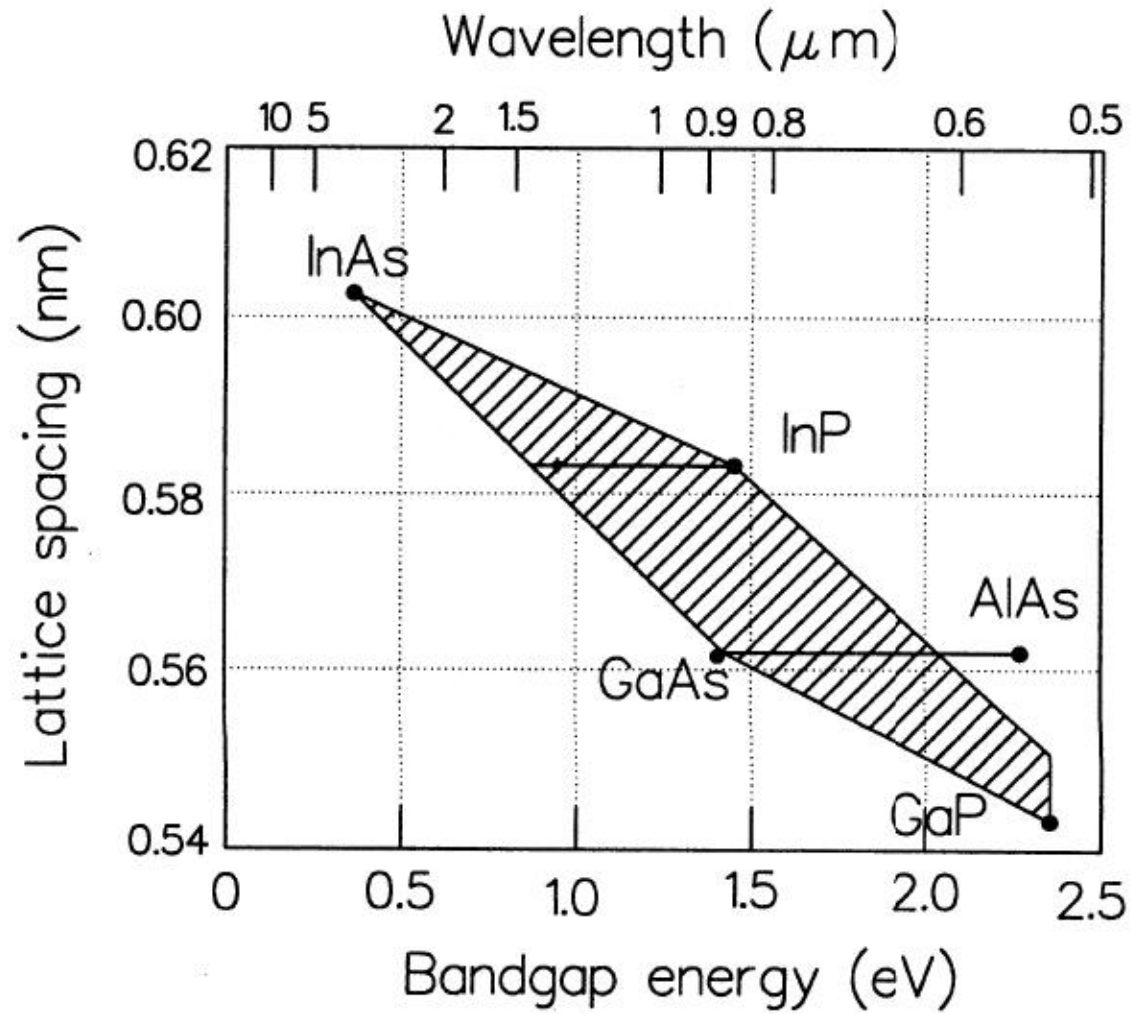
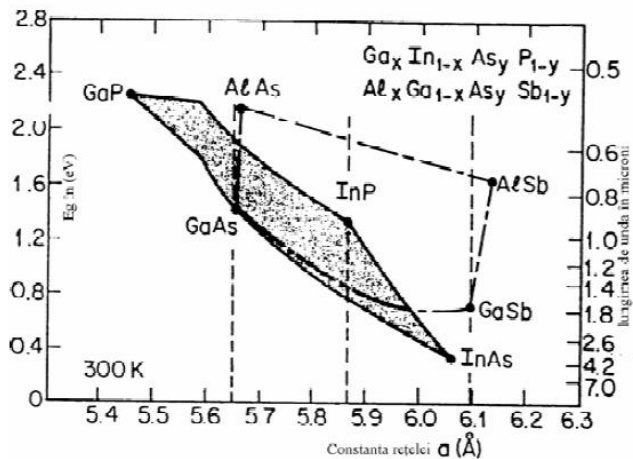
- ▶ **Orice** jonctiune p–n emite lumina
- ▶ O jonctiune p–n obisnuită este foarte subtire
 - volumul în care apar recombinări este foarte mic
 - eficiența luminoasă, redusa
- ▶ lumina este emisa în toate direcțiile
 - cantitatea de lumina utilizabila (într-o anumita direcție) este redusa

Detalii constructive – 2

- ▶ Spatierea atomilor in diferitele straturi trebuie sa fie egala (toleranta 0.1%) pentru a nu se introduce defecte mecanice la jonctiune
 - limitare a aliajelor utilizabile
 - aparitia defectelor
 - creste ineficienta (recombinari neradiative)
 - scade durata de viata a dispozitivului



Dependență benzii interzise de constanta rețelei



Materiale

- ▶ Lungimi de unda mici (spectru vizibil – 1000nm)
 - GaP (665nm), $\text{GaAs}_y\text{P}_{1-y}$
 - GaAs (900nm), $\text{Ga}_{1-x}\text{Al}_x\text{As}$ (AlAs – 550nm)
- ▶ Lungimi de unda mari (1000÷1700nm)
 - $\text{In}_x\text{Ga}_{1-x}\text{As}_y\text{P}_{1-y}$
 - x,y concentratii relative in aliaj a materialelor corespunzatoare
 - x,y alese din considerente privind
 - lungimea de unda
 - spatierea atomilor
- ▶ Ultraviolet – Albastru: GaInN

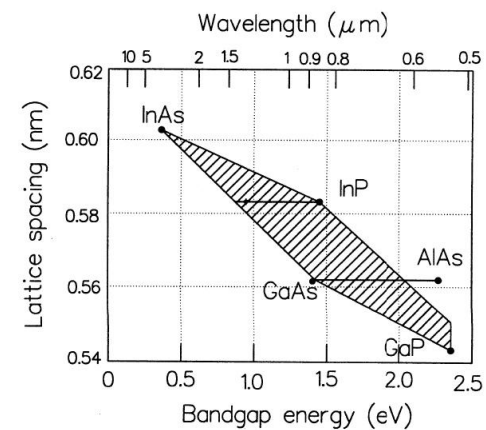
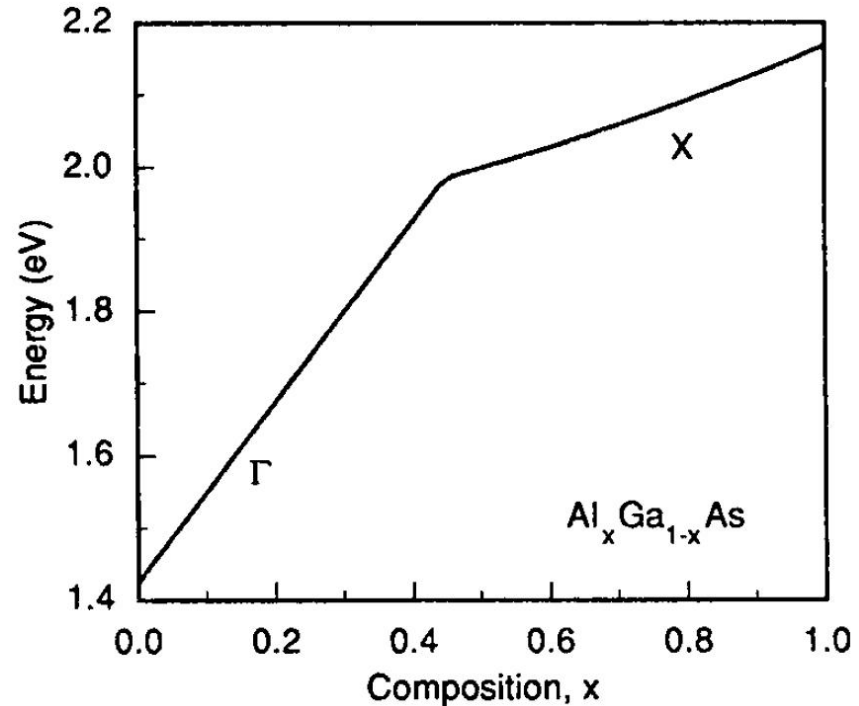
Materiale

▶ Lungimi de unda mici

- $\text{Ga}_{1-x}\text{Al}_x\text{As}$
- substrat GaAs
- limitare pentru tranzitie directă, $x < 0.45$
- E_g (in eV)

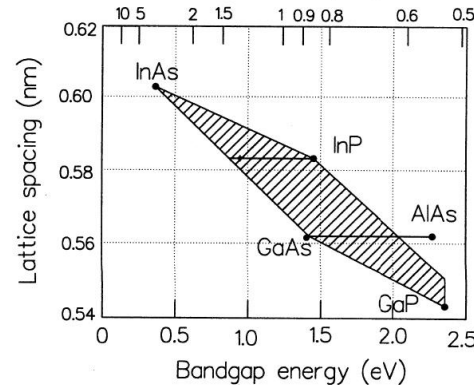
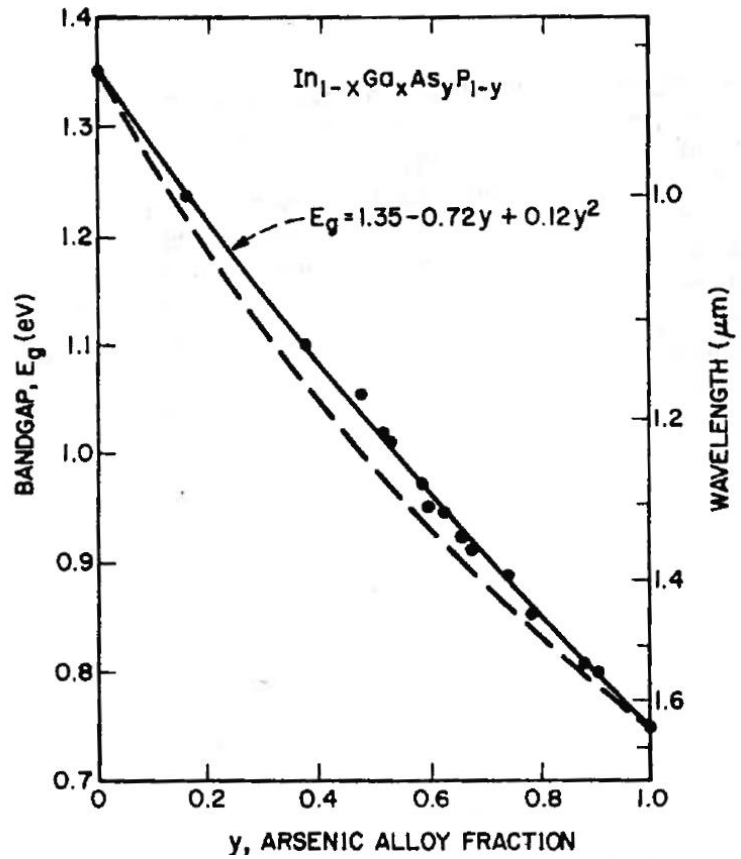
$$E_g = 1.424 + 1.247 \cdot x, \quad x < 0.45$$

$$E_g = 1.9 + 0.125 \cdot x + 0.143 \cdot x^2, \quad x > 0.45$$

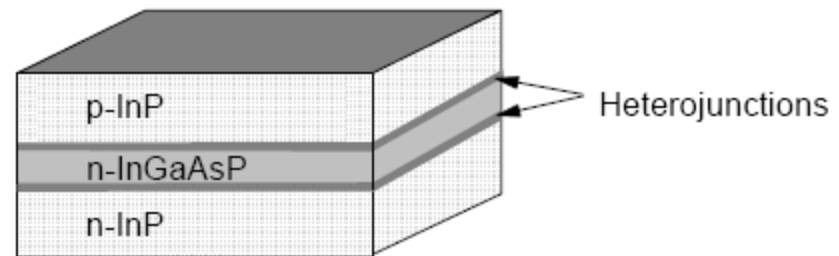
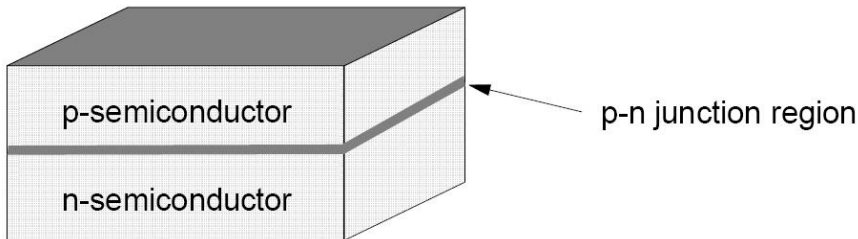


Materiale

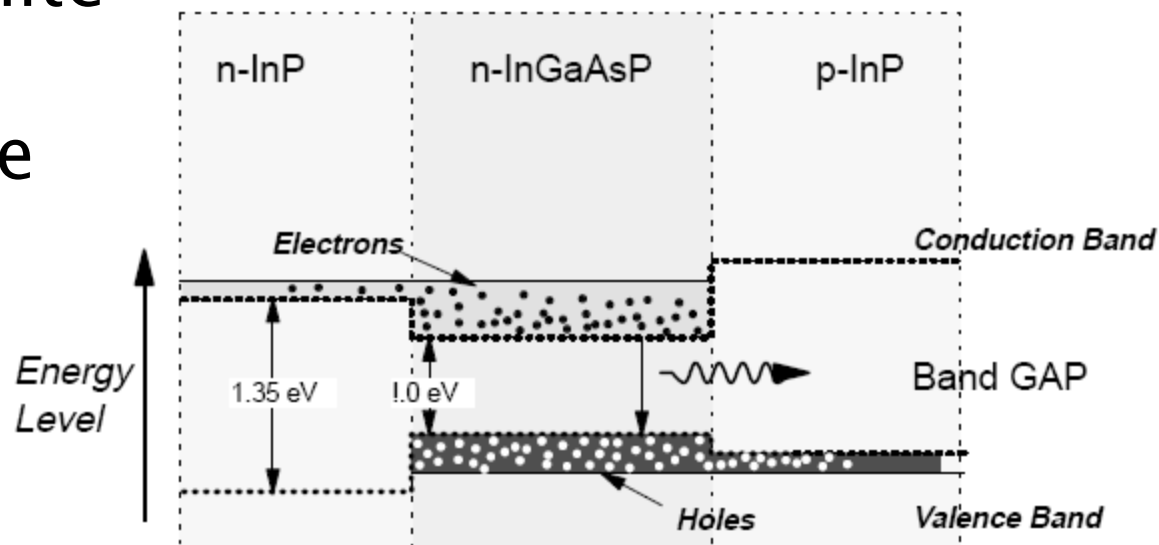
- ▶ Lungimi de unda mari
 - $\text{In}_x\text{Ga}_{1-x}\text{As}_y\text{P}_{1-y}$
 - Tipic substratul este InP
 - Spatierea atomilor (lattice spacing) corespunzatoare InP
 - $x = \frac{0.4526 \cdot y}{1 - 0.031 \cdot y}$
 - E_g (in eV)
$$E_g = 1.35 - 0.72 \cdot y + 0.12 \cdot y^2$$
 - Exemplu: 1300nm se obtine cu $y=0.611$ si $x=0.282$,
 - $\text{In}_{0.282}\text{Ga}_{0.718}\text{As}_{0.611}\text{P}_{0.389}$



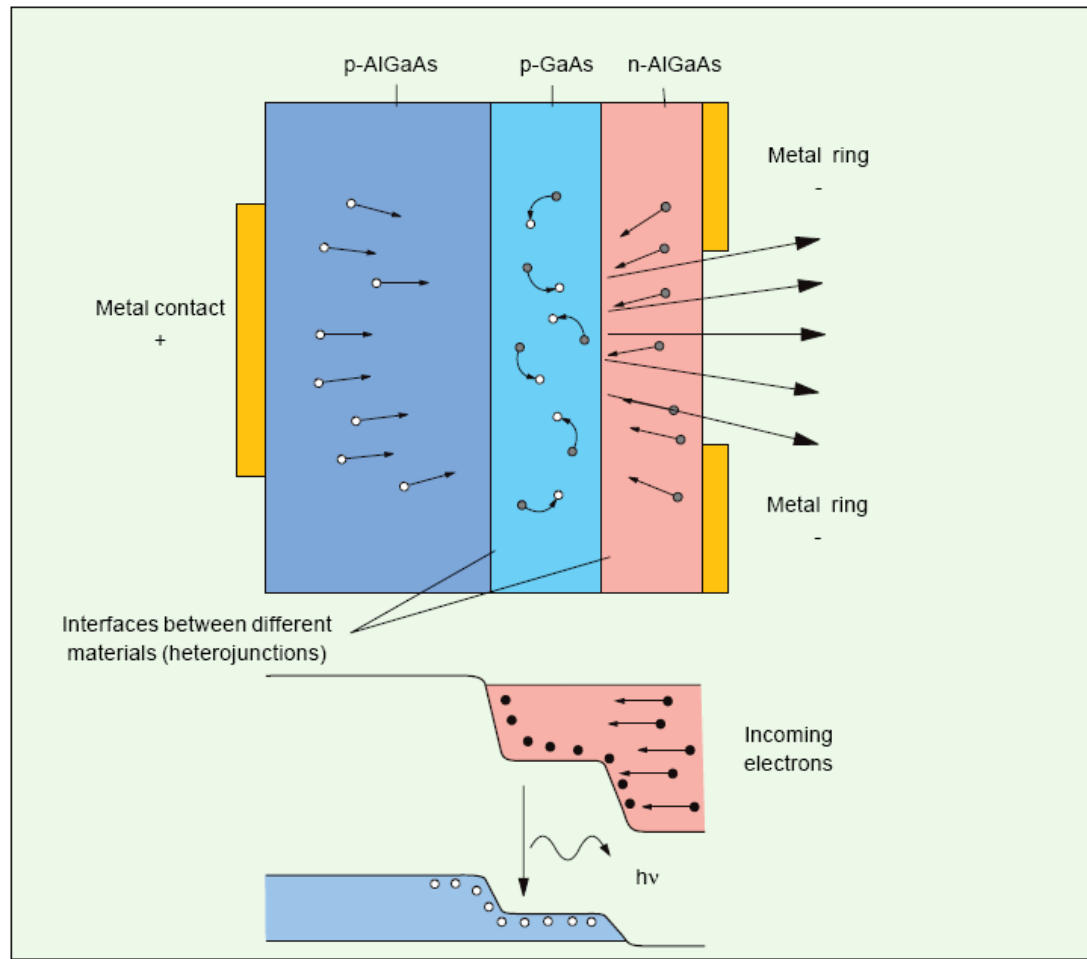
LED cu heterojuncțiuni – principiu



- ▶ Structura de nivele energetice permite capturarea purtatorilor între cele două heterojonctiuni

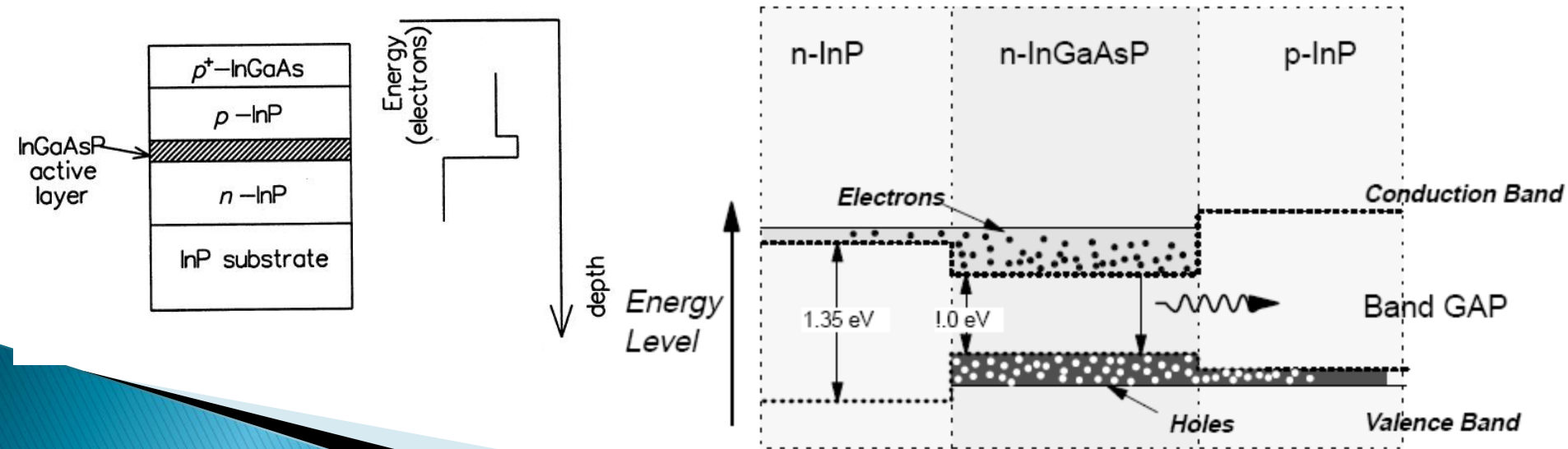


LED cu heterojuncțiuni – principiu



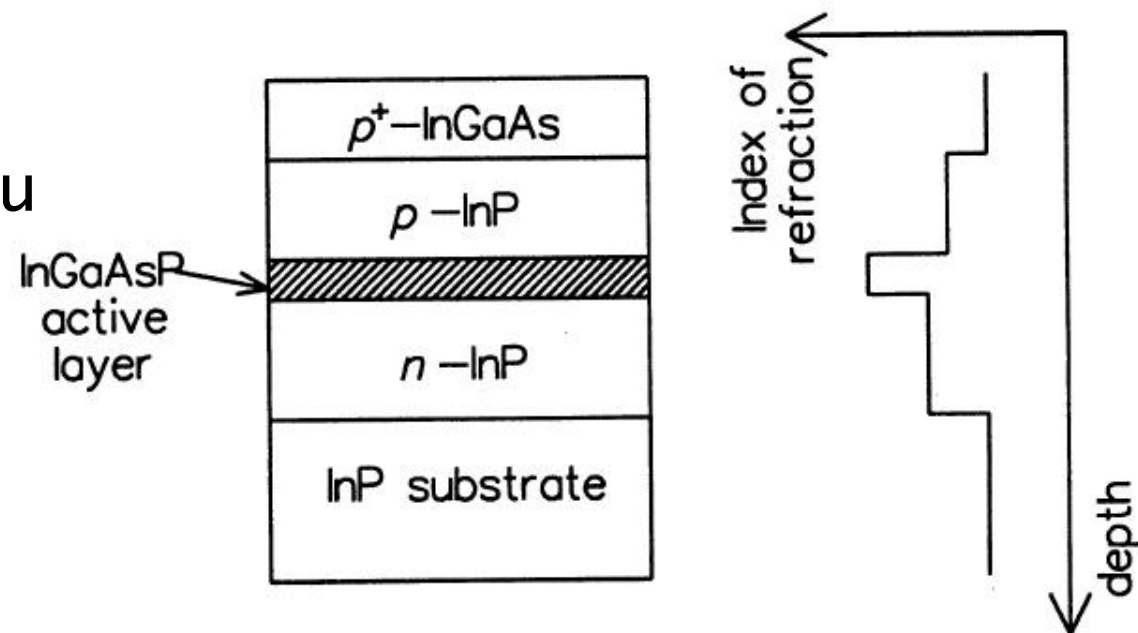
LED cu heterojunctiuni – principiu

- ▶ Concentrare verticala a purtatorilor
 - Electronii sunt atrasi din zona n in zona activa
 - O bariera energetica existenta intre zona activa si zona n concentreaza electronii in zona activa
 - Situatie similara corespunzatoare golurilor
 - Purtoatorii sunt concentrati in zona activa, crescand eficienta



LED cu heterojuncțiuni – principiu

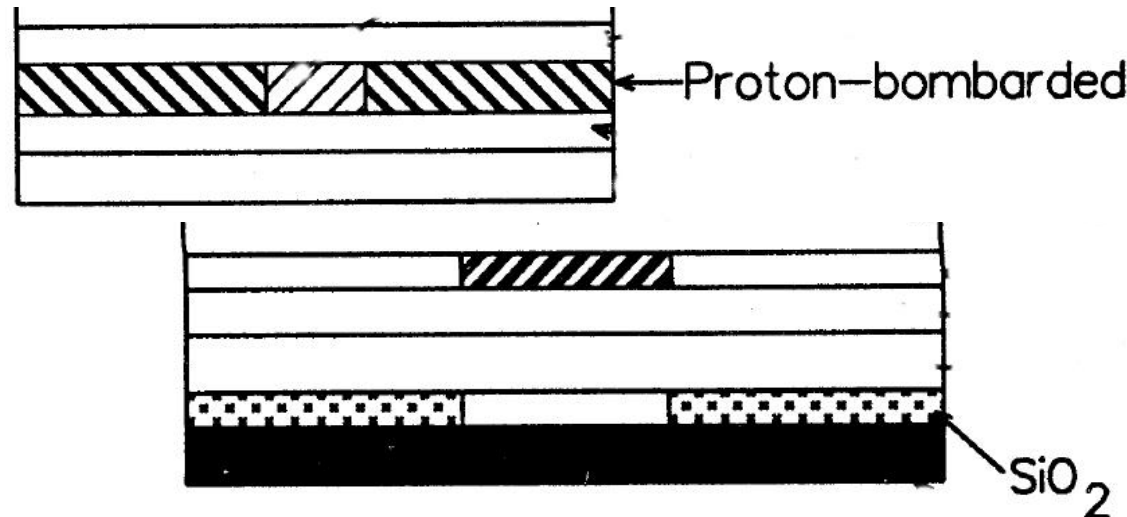
- ▶ Concentrare verticală a luminii
 - în general la diode laser (eficiența procesului LASER depinde de intensitatea luminoasă)
 - prezenta și la LED pentru creșterea eficienței luminoase: dirijarea luminii spre exterior și evitarea absorbtiei interne
- ▶ Straturile din materiale diferite au indici de refracție diferenți formând un ghid dielectric



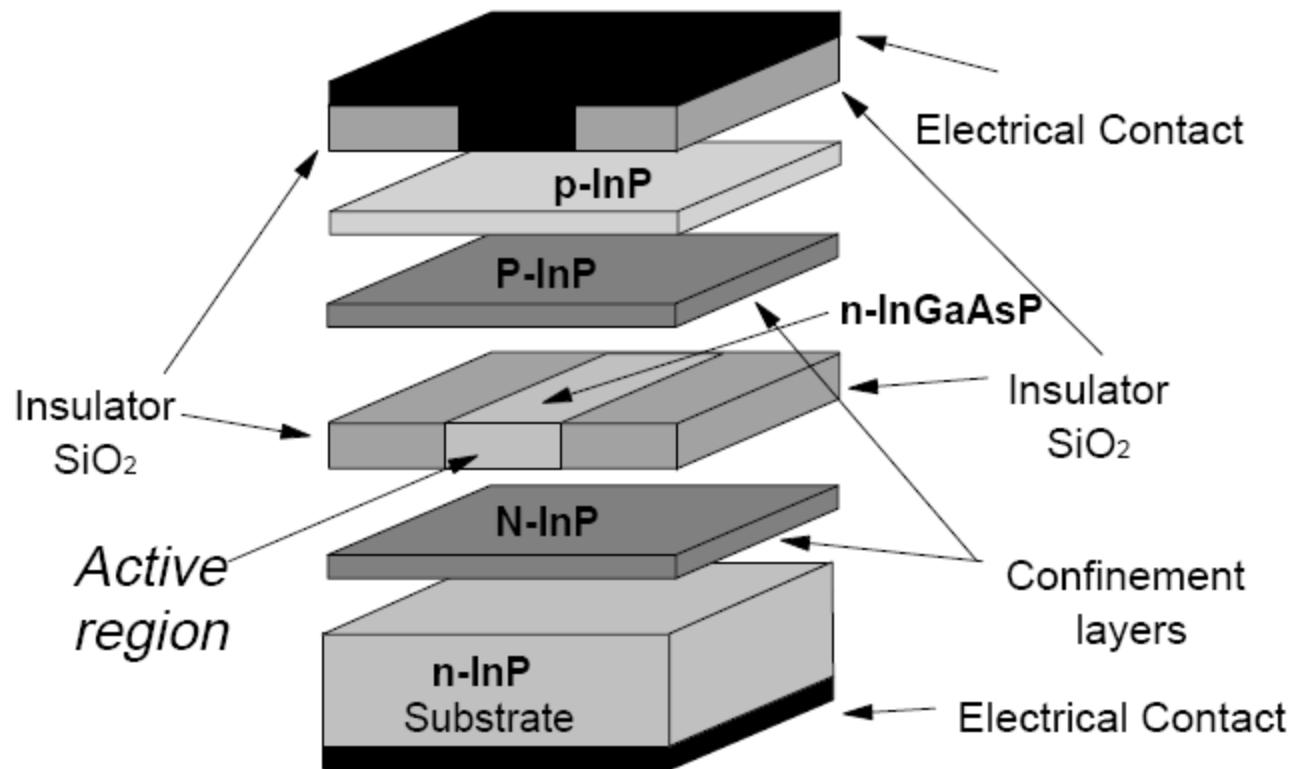
LED cu heterojunctiuni – principiu

▶ Concentrare orizontala a curentului

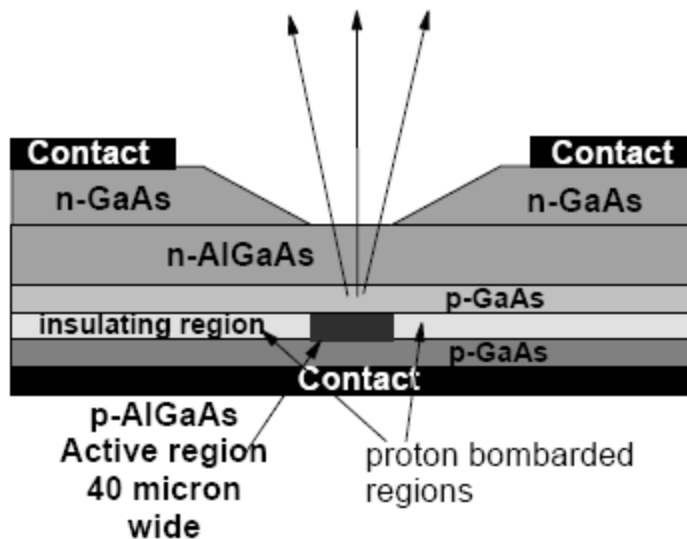
- Eficiența conversiei depinde de concentrația de purtatori, deci e necesara creșterea densității de curent în zona activă ($20\text{--}50\mu\text{m}$)
- Se utilizează:
 - strat izolator (tipic SiO_2) cu o deschidere în dreptul zonei active
 - Bombardarea cu protoni a regiunii din jurul zonei active
 - Alte metode:
 - eliminarea materialului în jurul zonei active (mesa structure)
 - difuzie de Zn în zona centrală



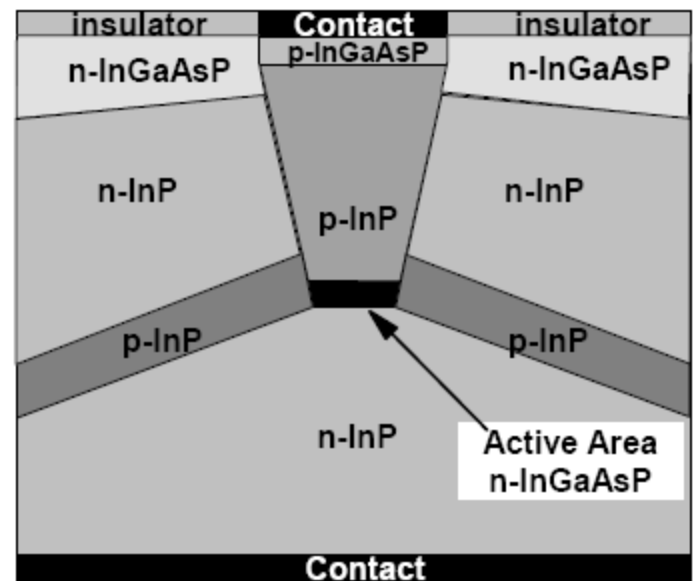
LED cu heterojunctiuni – detalii



Structuri constructive pentru LED

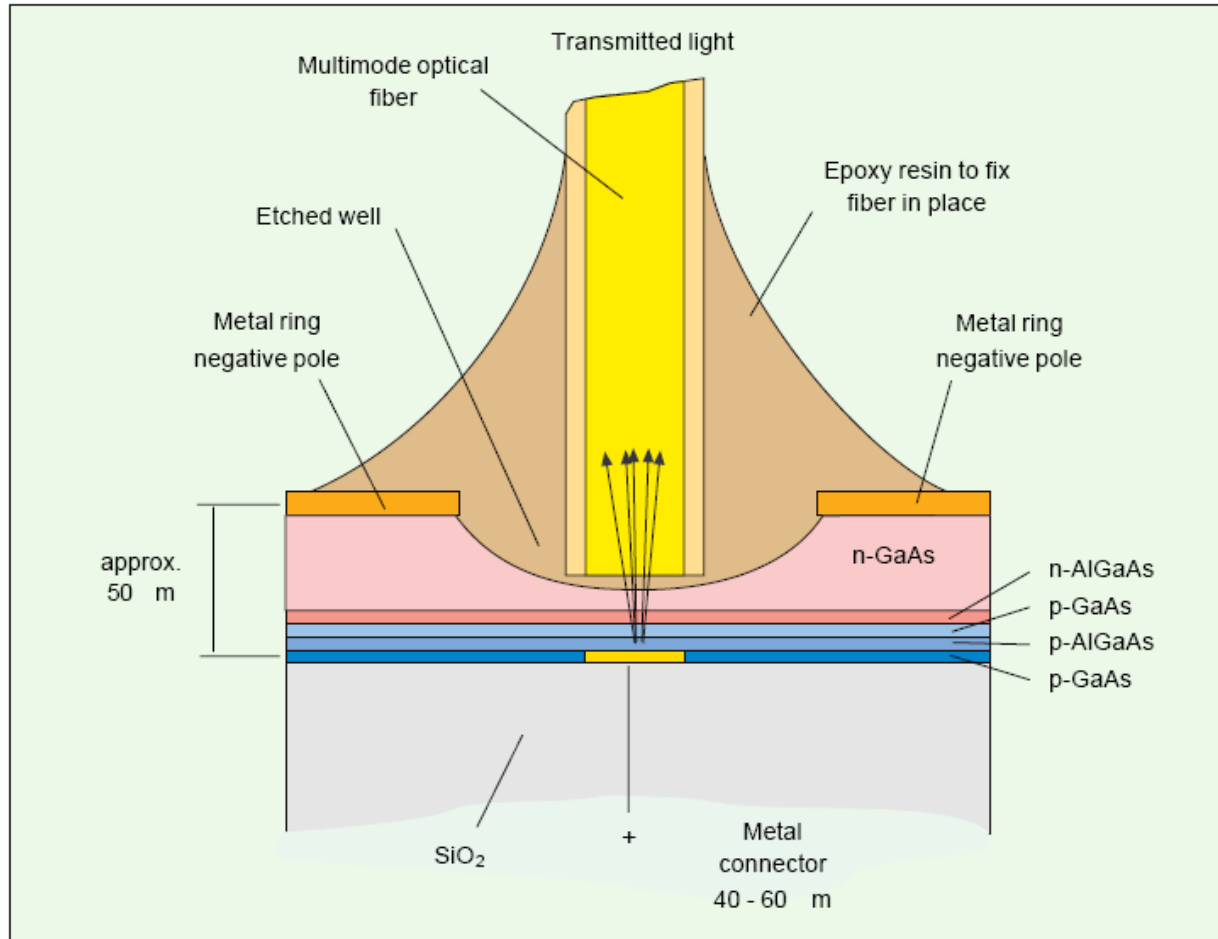


Burrus Surface Emitting LED
(SLED)



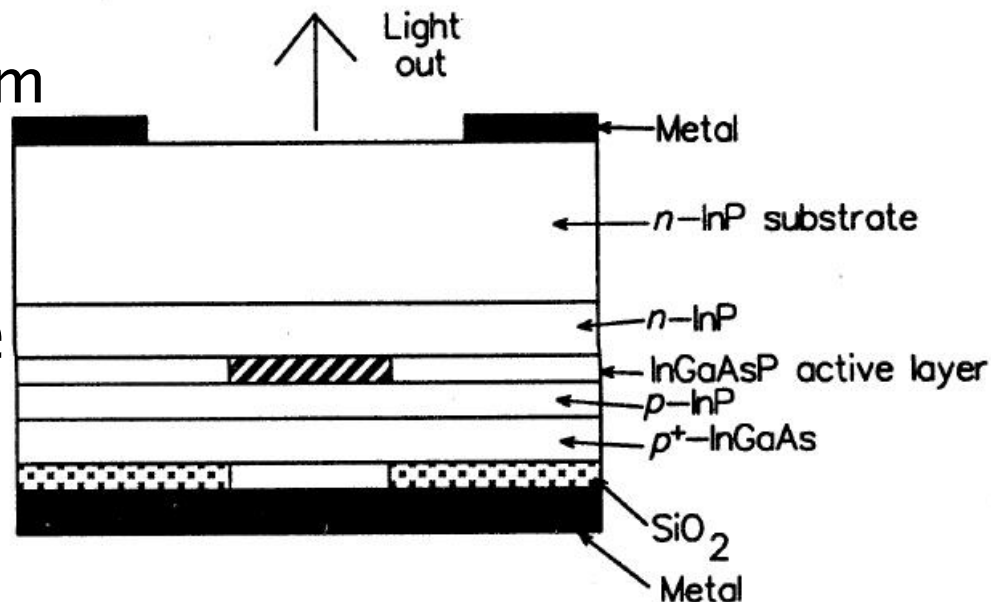
Edge Emitting LED
(ELED)

LED cu emisie de suprafață



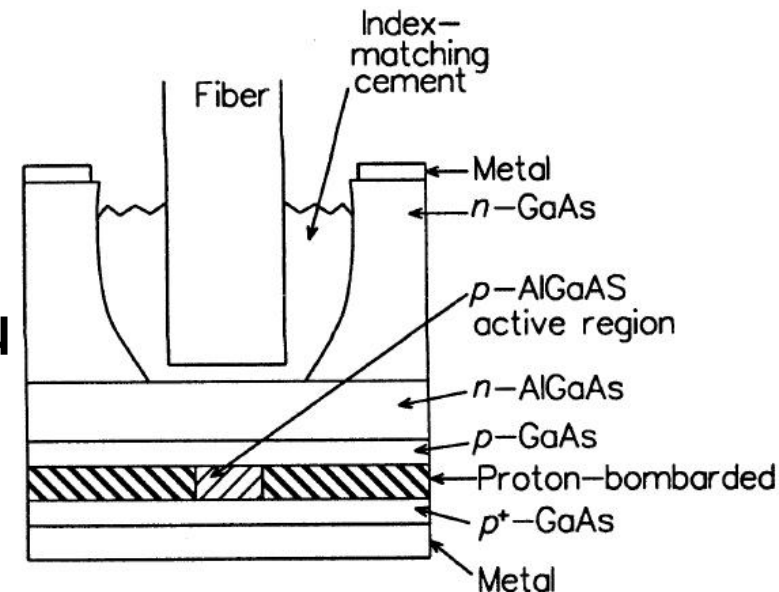
SLED InGaAsP – constructie

- ▶ InGaAsP
- ▶ 4 straturi
 - n InP ~2÷5 μ m
 - p InGaAsP ~0.4÷1.5 μ m
 - p InP ~1÷2 μ m
 - p⁺ InGaAs ~0.2 μ m
- ▶ Latimea zonei active
 - ~20÷50 μ m diametru

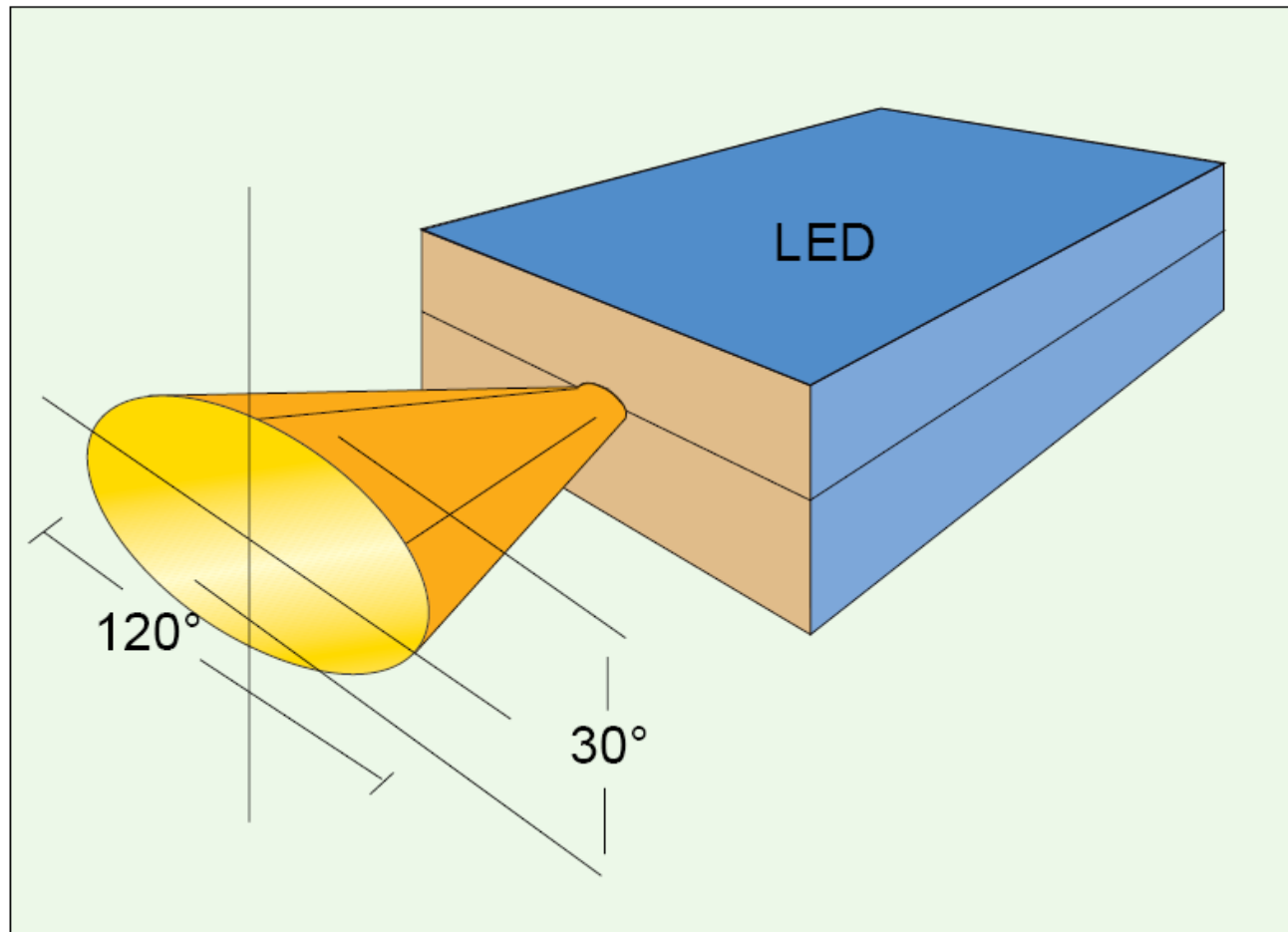


SLED GaAlAs – constructie

- ▶ GaAlAs
- ▶ diferența principală e data de absorbția crescută a substratului GaAs, care este eliminat parțial pentru a permite accesul luminii spre exterior

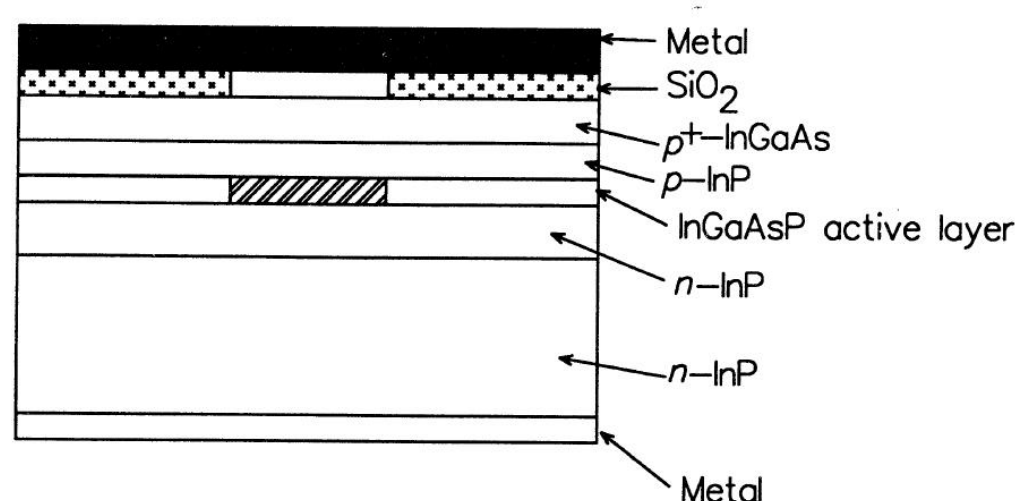


LED cu emisie laterală



ELED – constructie

- ▶ InGaAsP
- ▶ strict pentru comunicatii
- ▶ Cele patru straturi sunt in general similare
- ▶ Stratul activ este mult mai subtire decat la SLED $\sim 0.05 \div 0.25 \mu\text{m}$
- ▶ Regiunea activa
 - latime $50 \div 70 \mu\text{m}$
 - lungime $100 \div 150 \mu\text{m}$
 - p^- InP $\sim 1 \div 2 \mu\text{m}$
 - p^+ InGaAs $\sim 0.2 \mu\text{m}$
- ▶ Apare concentrarea verticala a lumинii



Emisia luminii spre exterior

- ▶ Indici de refractie ridicati
 - InP $n=3.4$
 - GaAs $n=3.6$
- ▶ Doua probleme generate
 - pierderi prin reflexie ridicate
 - unghi critic de numai 15°

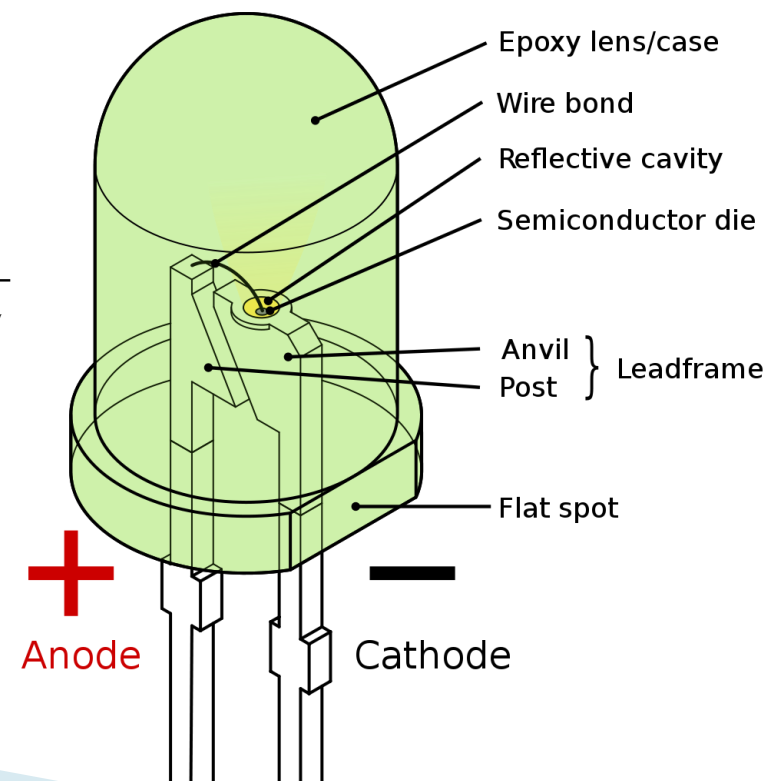
Emisia luminii spre exterior

► Solutii

- utilizarea unui material intermediar pentru adaptarea indicelui de refractie (rasina epoxidica)
- adaptarea formei de iesire din dispozitiv – forma de dom
 - eficienta de cuplaj

$$\text{interfata plana} \frac{1}{n \cdot (n+1)^2}$$

$$\text{dom} \frac{2n}{(n+1)^2}$$



Contact

- ▶ Laboratorul de microunde si optoelectronica
- ▶ <http://rf-opto.etti.tuiasi.ro>
- ▶ rdamian@etti.tuiasi.ro